

Transport dans les sols:

Eau, colloïdes, contaminants,

imagerie, mécanismes, modèles.

Eric MICHEL, Stéphane Sammartino, François Lafolie,
Yvan Capowiez, Stéphane Ruy, Philippe Beltrame

Évolution des services rendus par les sol



Prédire la capacité des sols à:

- servir de filtre protégeant les aquifères
- supporter l'agriculture

Sous l'impact des:

- activités humaines,
- pratiques agricoles
- changement climatique

Évolution des services rendus par les sol



Prédire la capacité des sols à:

- servir de filtre protégeant les aquifères
- supporter l'agriculture

Sous l'impact des:

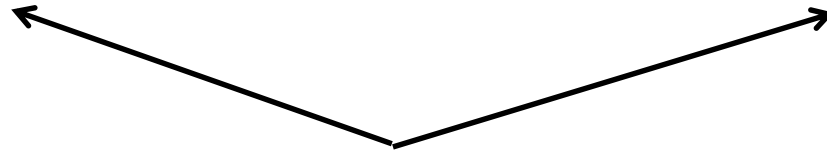
- activités humaines,
- pratiques agricoles
- changement climatique

**Contaminant
transport
models**

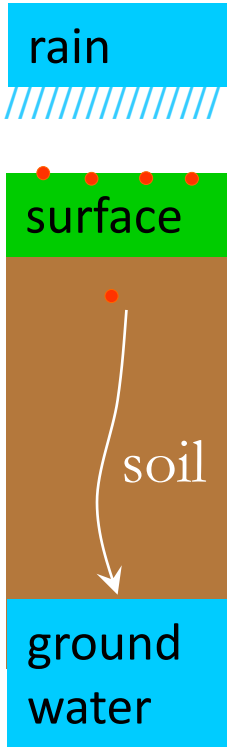
**Soil
evolution
models**

**generic models of water, solute & colloid
transport in soils**

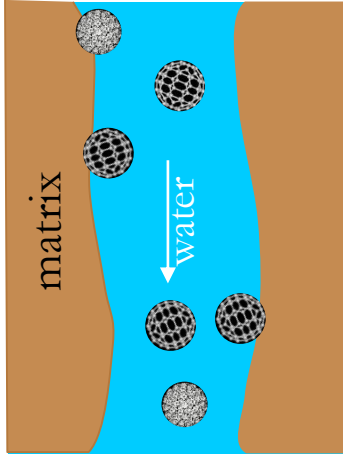
transport mechanisms



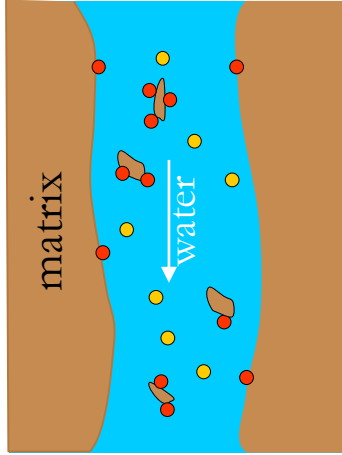
transport de colloïdes dans les sols



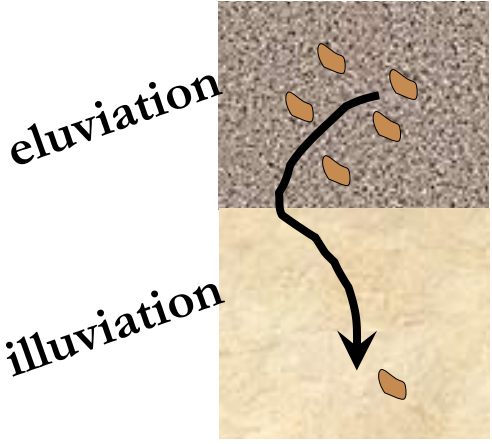
- contaminants



- Vecteurs de contaminants adsorbés



- Acteurs d'un processus de formation des sols

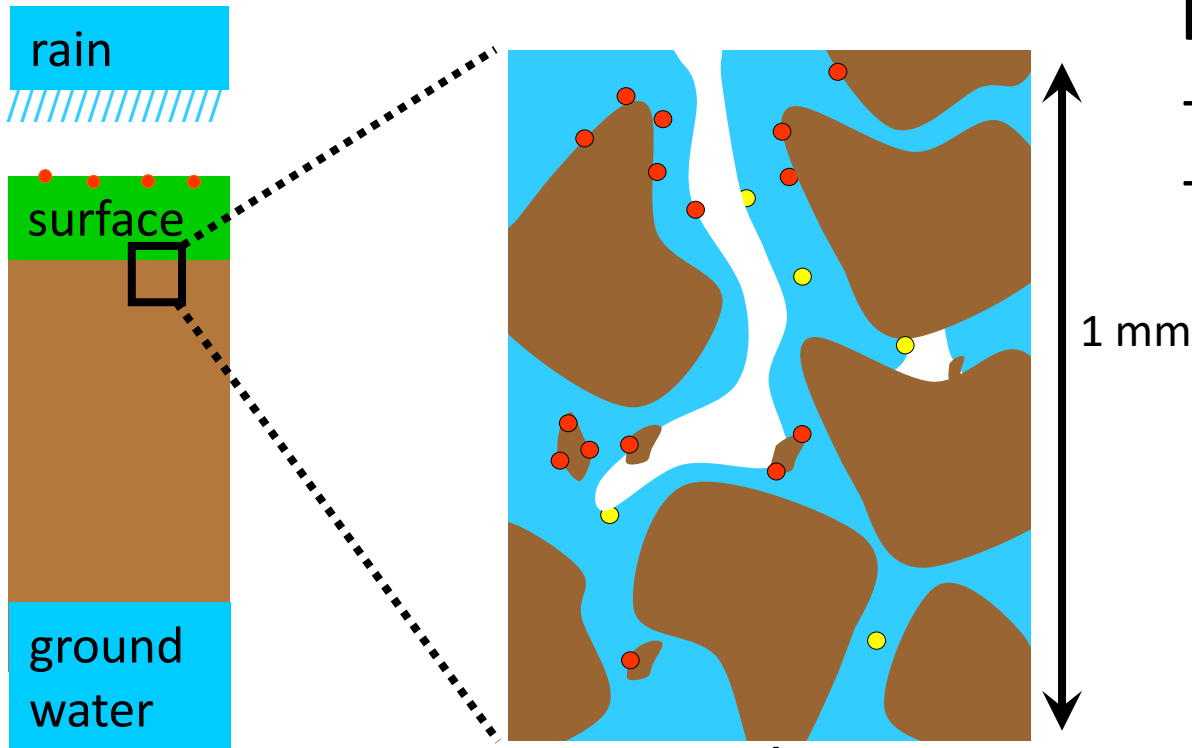


Groundwater quality

Soil evolution

**natural soil colloid mobilization mechanisms ?
colloid retention mechanisms ?**

preferential macropore flow



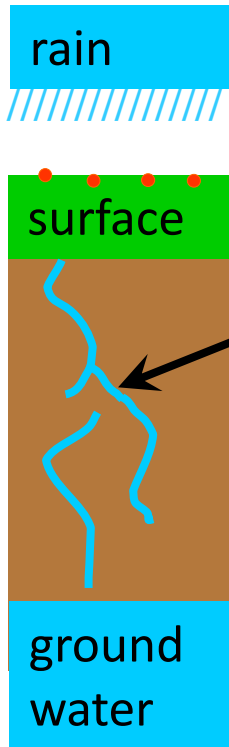
Matrix:

- Capillary pores,
- Darcy-Richards law applies

4 phases:

water, immobile soil, colloids, air

preferential macropore flow

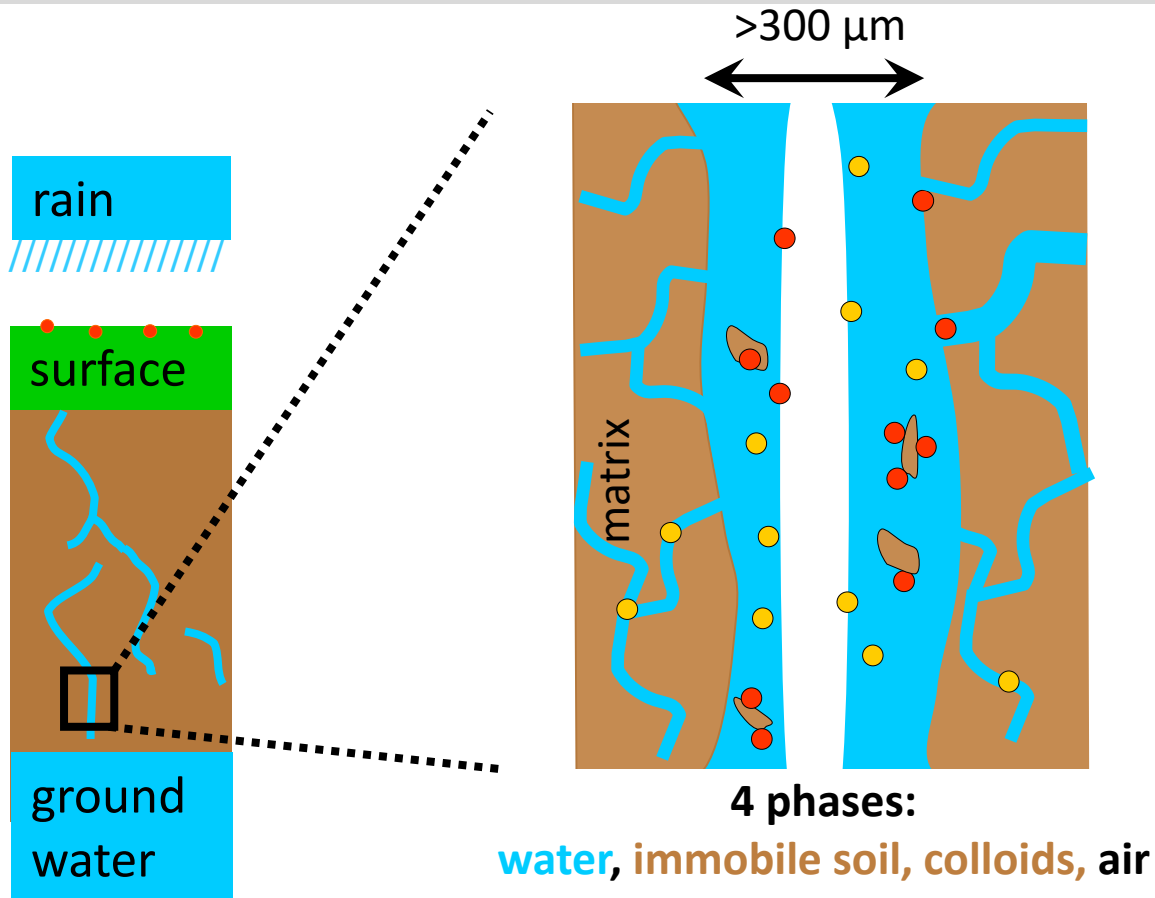


Macropores :

- earthworm burrows,
- space left by decayed roots

→ gravity driven water transport
→ water bypasses the soil matrix

preferential macropore flow



- relation macropore network geometry and transfert ?
- how does macropore flow affect colloid mobilization?
retention ?

Macropore flow...

relation macropore network geometry and transport

modeling macropore flow

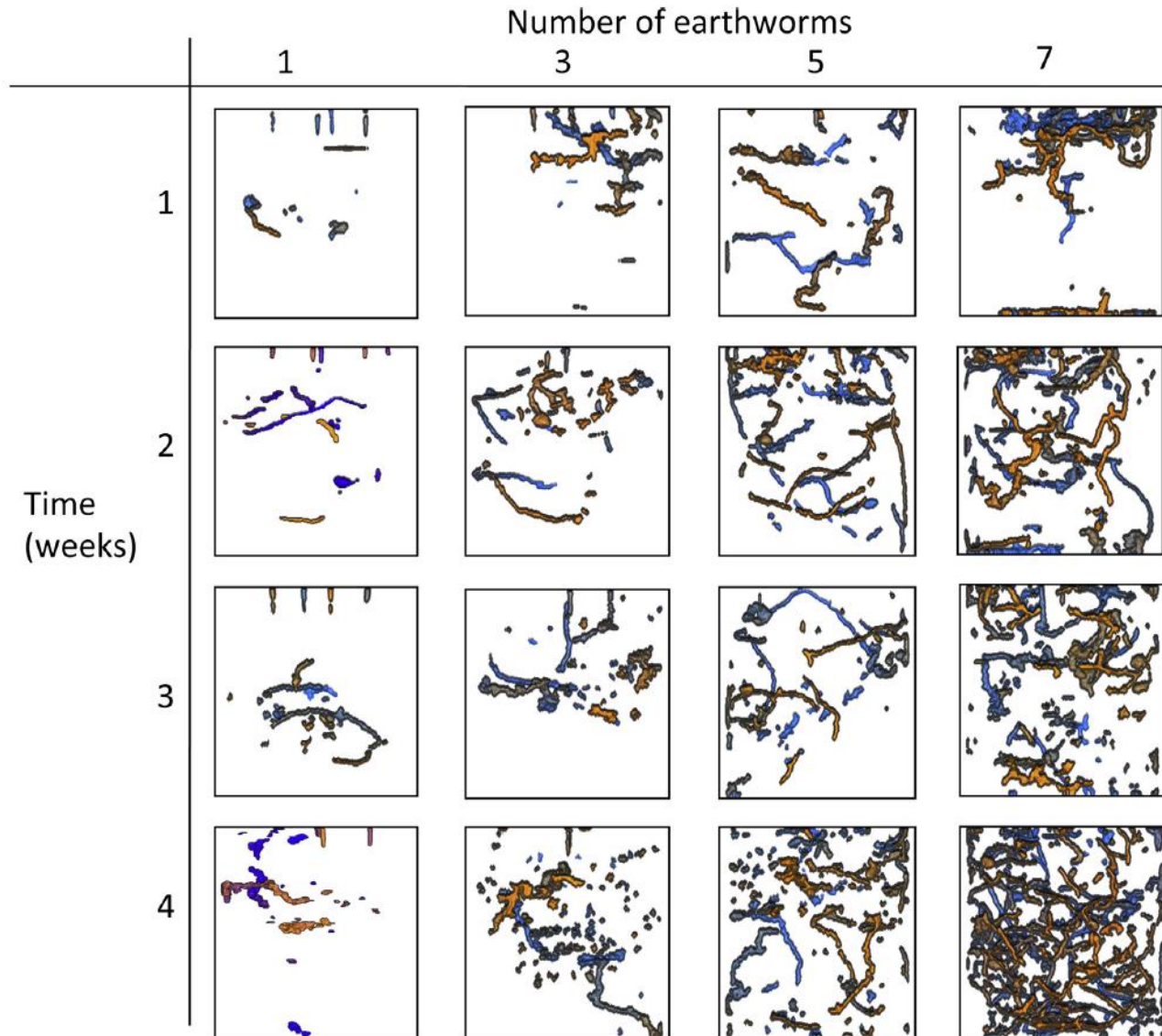
Colloid transport

relation macropore flow natural colloid mobilization

magnetic resonance imaging

Preferential macropore flow

relation macropore network \longleftrightarrow water & colloid transfert ?



Preferential macropore flow

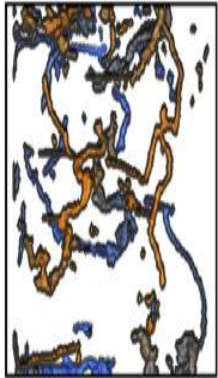
relation macropore network \longleftrightarrow water & colloid transfert ?

Colloïdes:

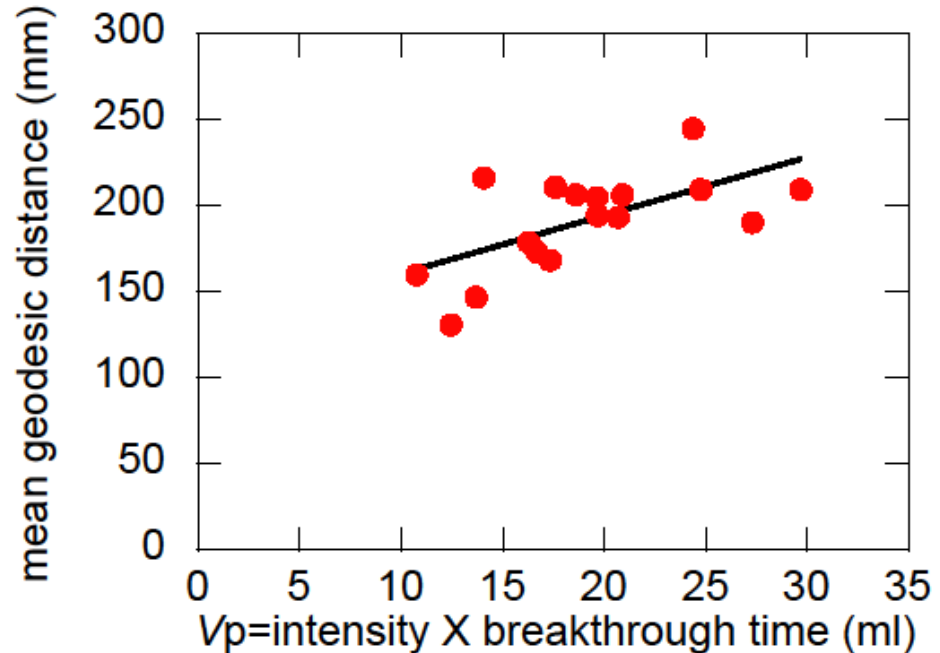
Aucune relation statistique entre
quantités de colloïdes naturels élués et

Eau:

caractéristiques des galeries !



**Distance
géodésique
moyenne**



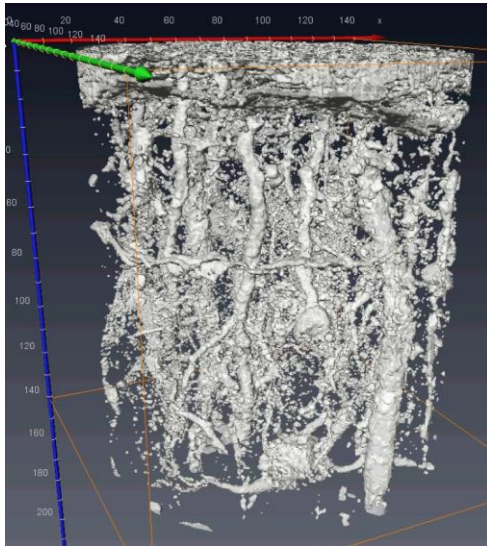
Explique seulement 14% de la variation de V_p :

Tous les pores ne sont peut être pas actif !

Preferential macropore flow

vers une identification du réseau de macropore actif

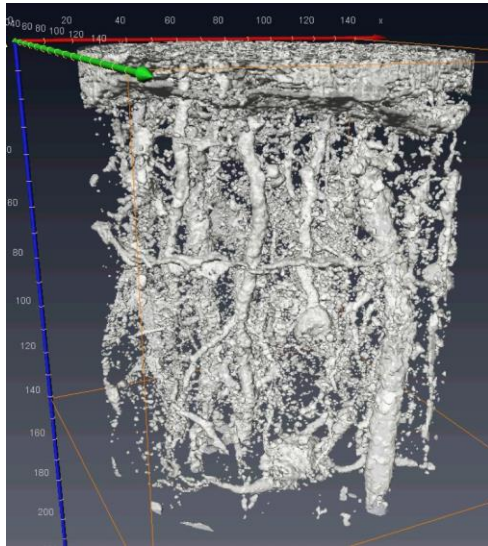
**Macropore network
imaged with X-ray CT**



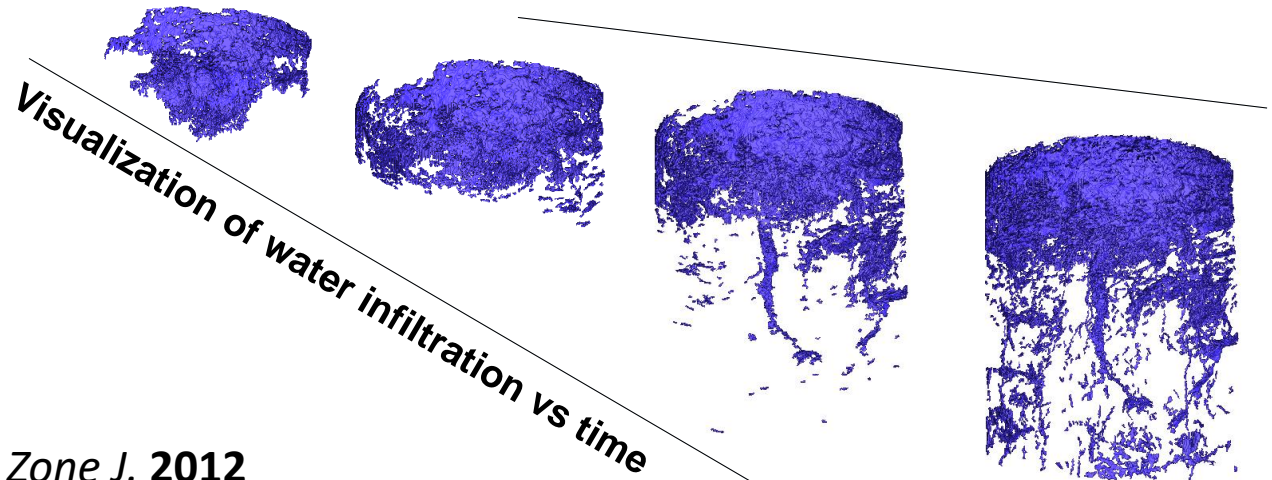
Preferential macropore flow

vers une identification du réseau de macropore actif

Macropore network imaged with X-ray CT



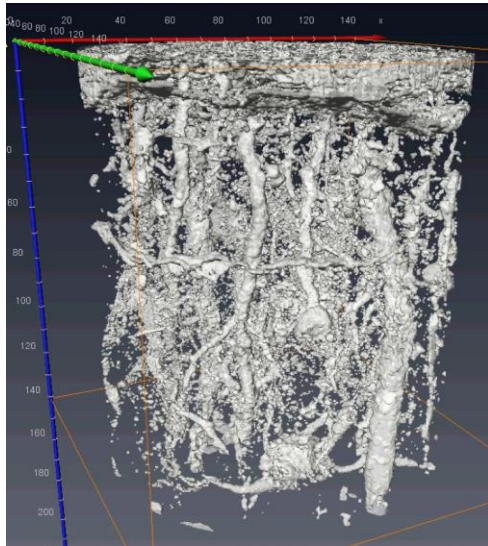
Time lapse X-ray CT imaging



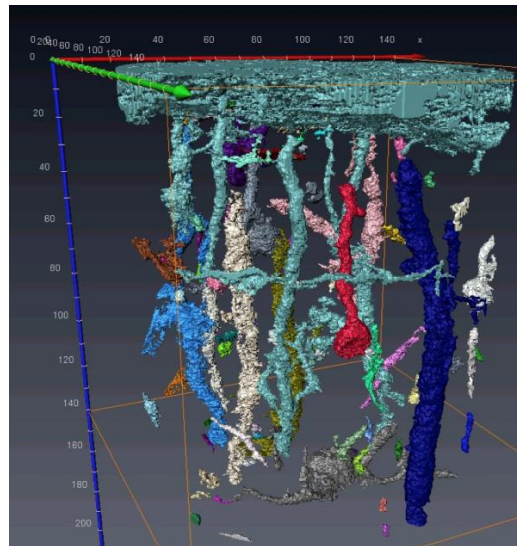
Preferential macropore flow

vers une identification du réseau de macropore actif

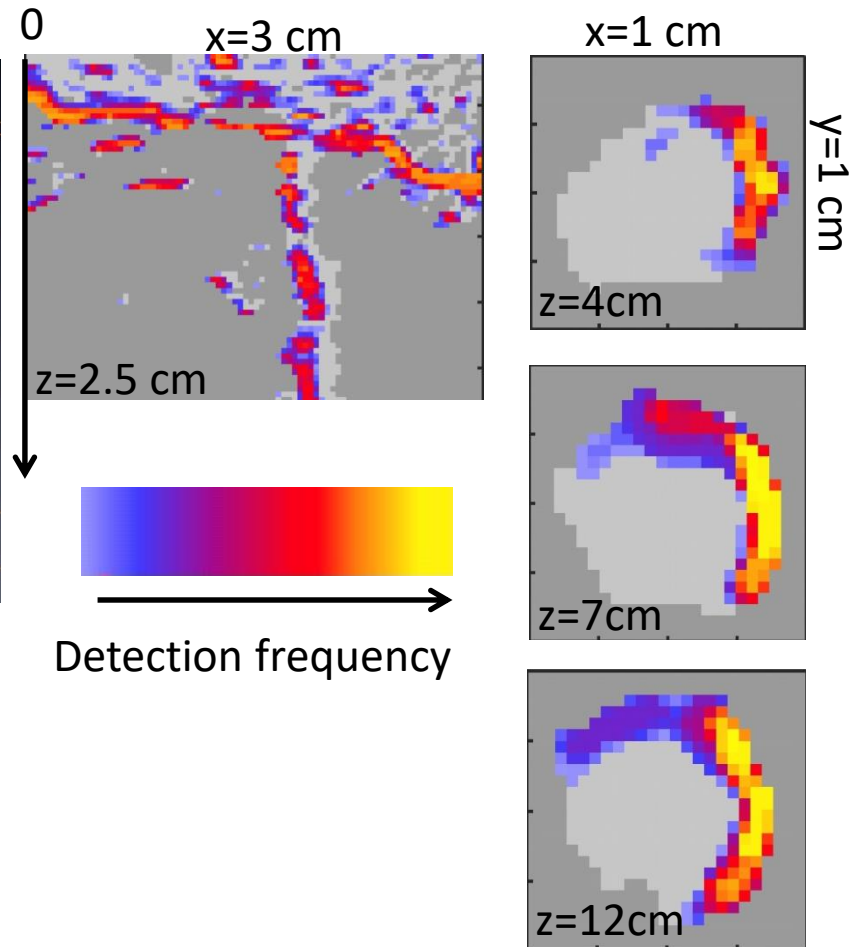
Total macropore network



Functional part of the macropores network

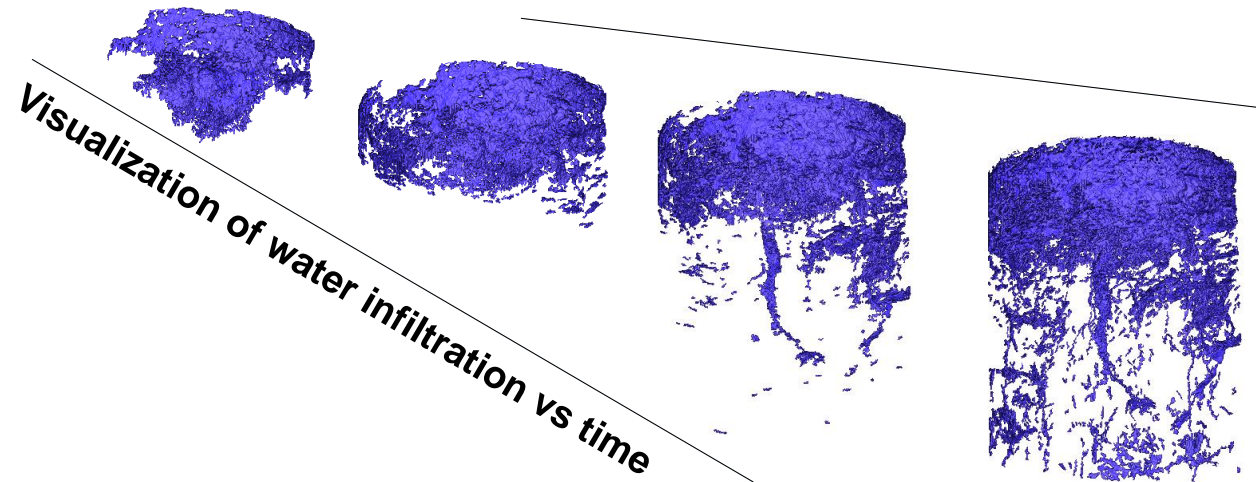


Water-soil interfacial area

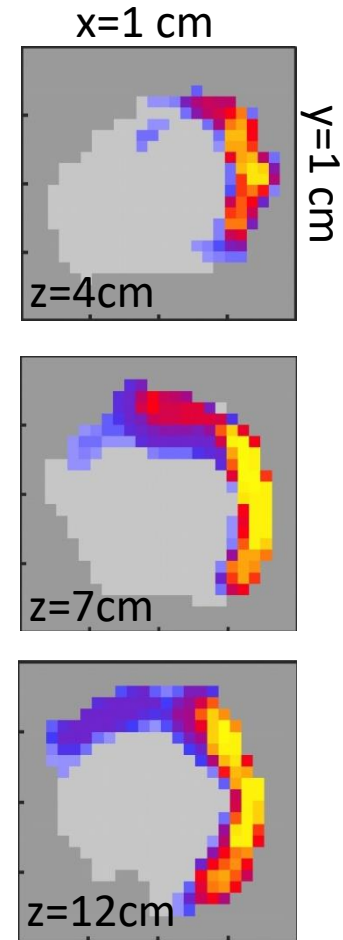


Sammartino et al. *Vadoze Zone J.* 2015
stephane.sammartino@univ-avignon.fr

improved qualitative knowledge of flow processes
Useful for models ?



- macropores: taille > 0.3 mm
- la capillarité ne s'applique pas:
le modèle de Darcy-Richards n'est pas une option.
- la gravité est le moteur de l'écoulement
- les macropores ne sont pas saturés
- l'eau s'écoule sous forme de films



Quel(s) modèle(s) ?

Equations de Navier-Stokes prenant en compte mouillabilité et échanges avec la microporosité

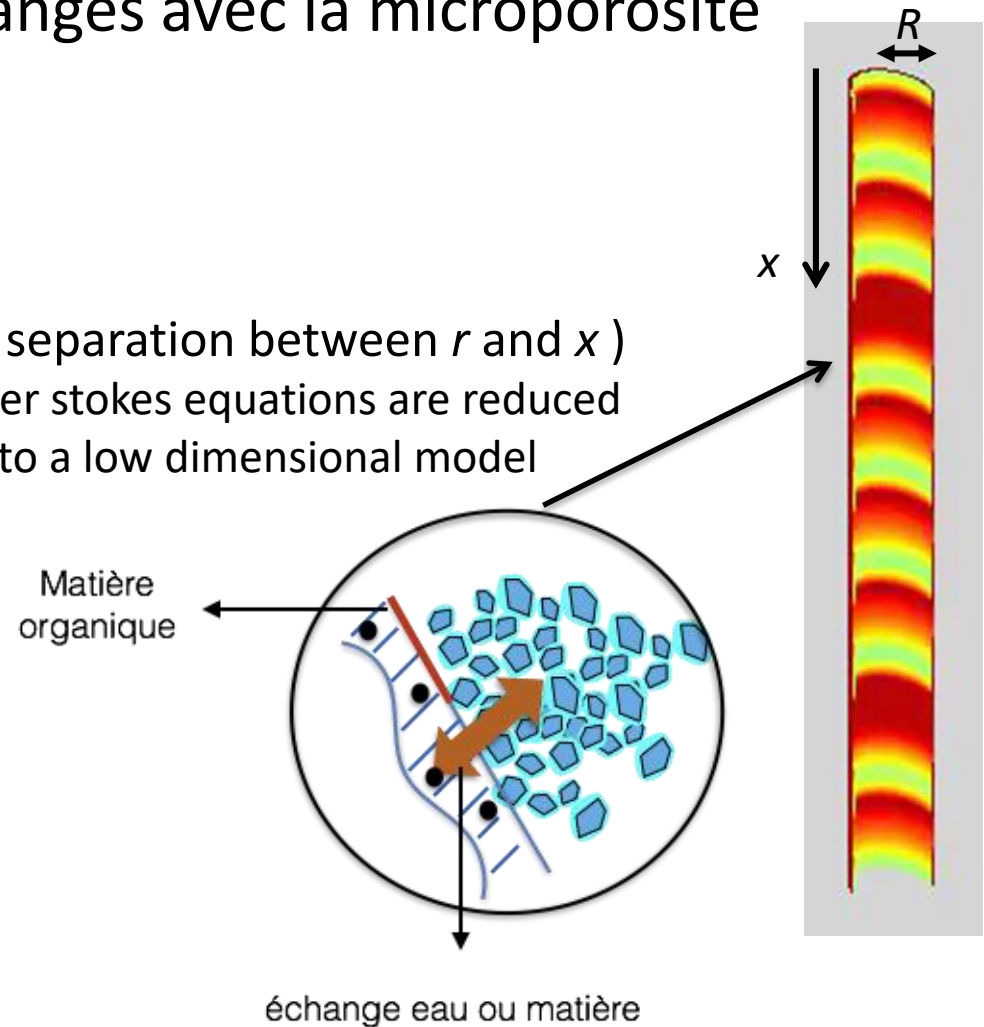
Assumptions

- ⊙ Low macropore saturation
—> No capillary liquid bridge
- ⊙ Axisymmetric problem
- ⊙ longwave approximation

(scale separation between r and x)
Navier stokes equations are reduced to a low dimensional model

Physical parameters

- ⊙ Viscosity
- ⊙ Surface tension
- ⊙ **Wettability** → partial wetting.
- ⊙ exchange with microporosity



Equations de Navier-Stokes prenant en compte mouillabilité et échanges avec la microporosité

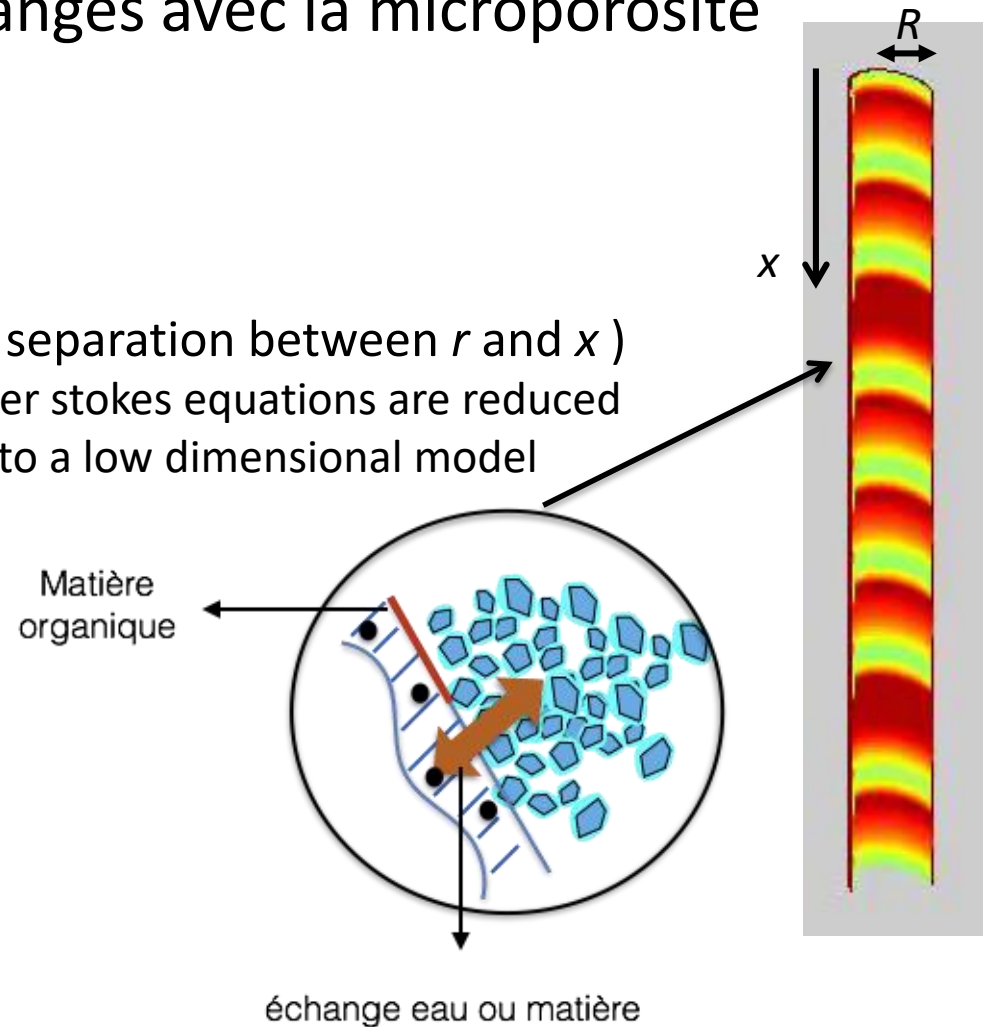
Assumptions

- ⊙ Low macropore saturation
—> No capillary liquid bridge
- ⊙ Axisymmetric problem
- ⊙ longwave approximation

(scale separation between r and x)
Navier stokes equations are reduced to a low dimensional model

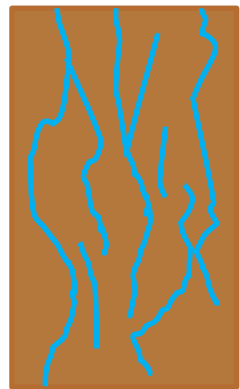
Physical parameters

- ⊙ Viscosity
- ⊙ Surface tension
- ⊙ Wettability → partial wetting.
- ⊙ exchange with microporosity

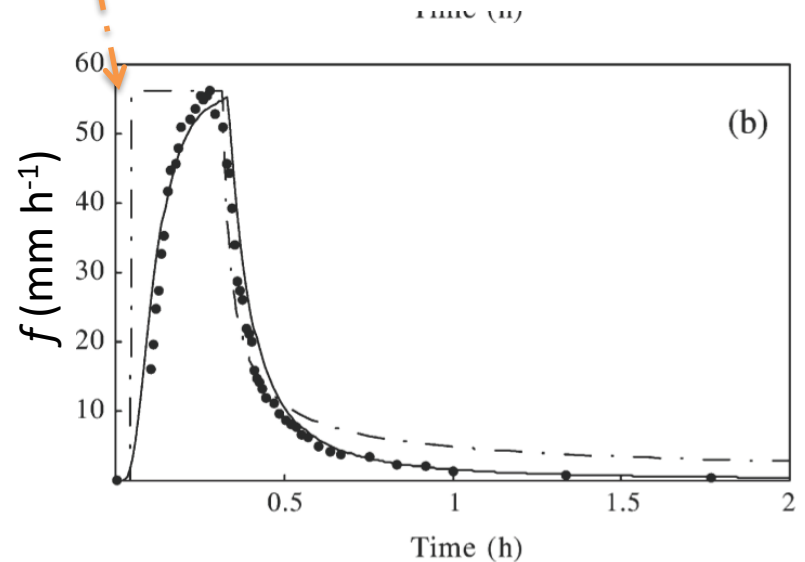
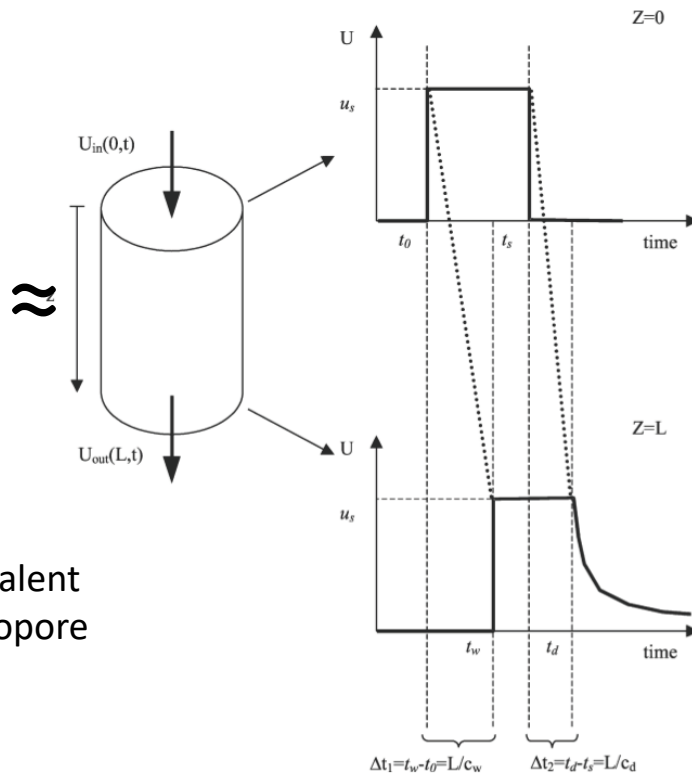


$$\frac{\partial f}{\partial t} = -c(\theta) \frac{\partial f}{\partial z}$$

$$f(t, z) = b \theta^a$$



Equivalent macropore

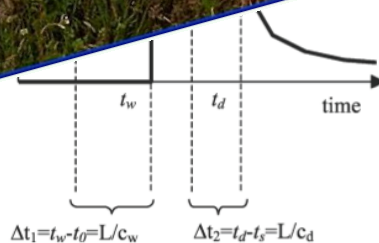
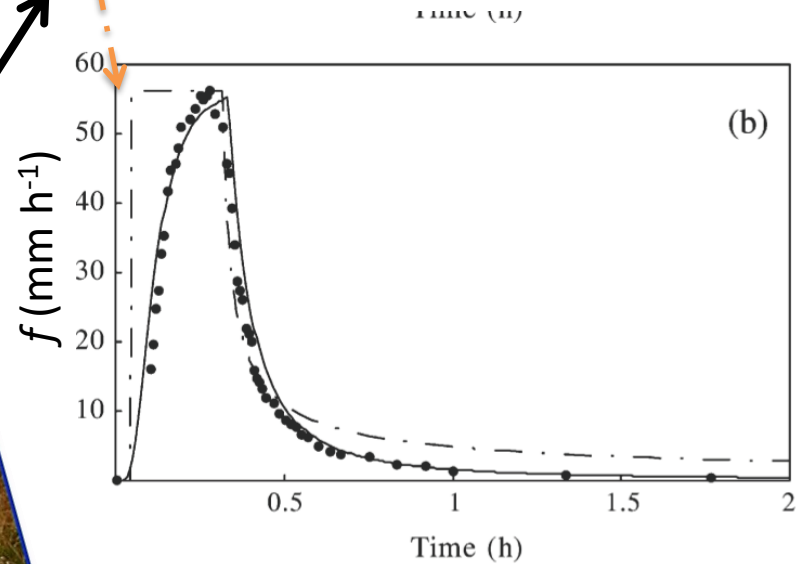
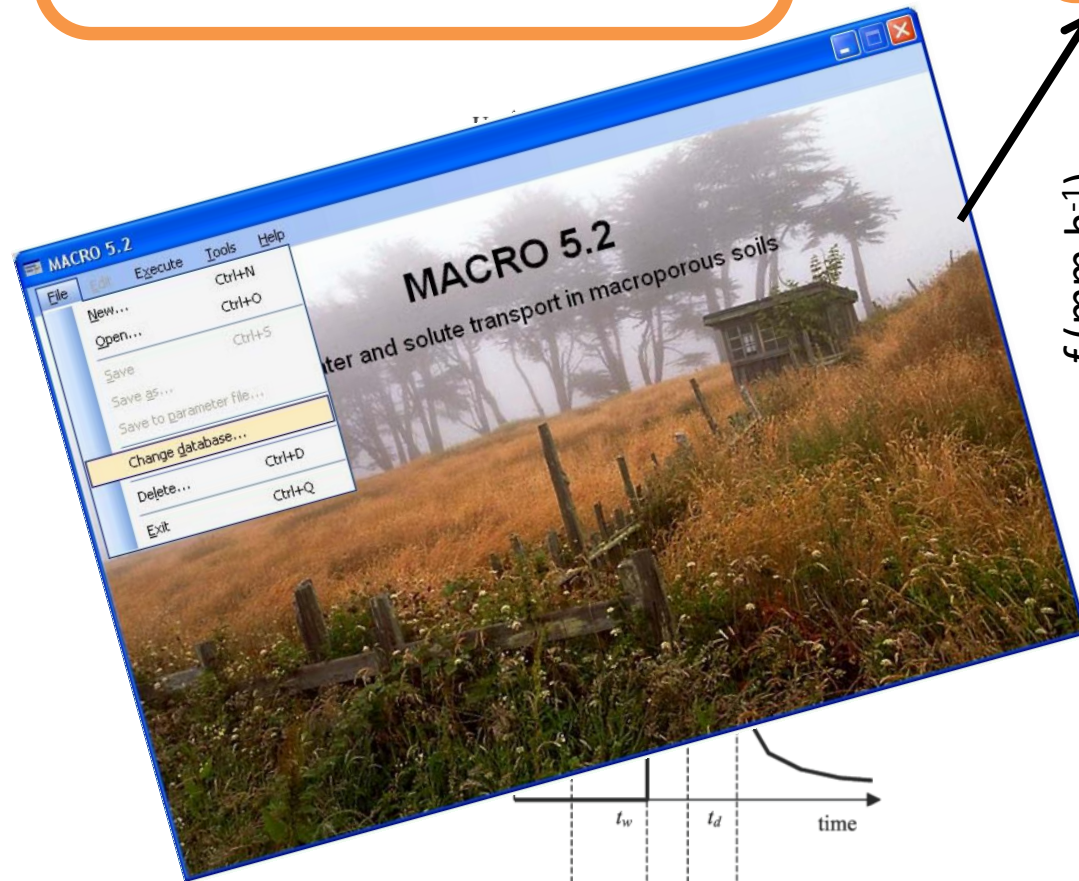


Modèle des ondes cinématiques

Modelo de las Ondas Cinemáticas

$$\frac{\partial f}{\partial t} = -c(\theta) \frac{\partial f}{\partial z}$$

$$f(t, z) = b \theta^a$$

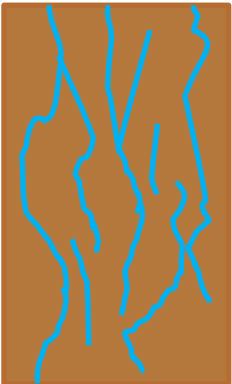


Modèle des ondes cinématiques

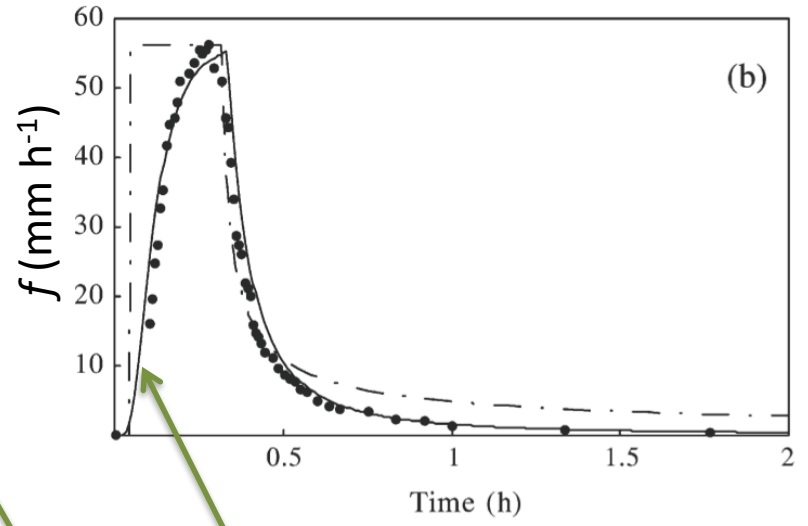
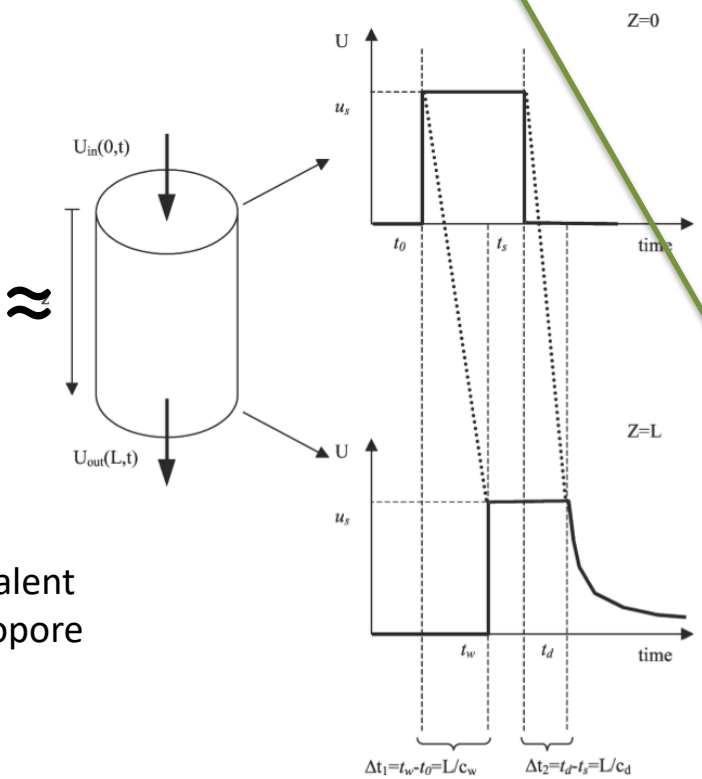
Modelo de las Ondas Cinemáticas

$$\frac{\partial f}{\partial t} = -c(\theta) \frac{\partial f}{\partial z} + v_f \frac{\partial^2 f}{\partial z^2}$$

$$f(t, z) = b \theta^a$$



Equivalent macropore



$$f(t, z) = b \theta^a - v_\theta \frac{\partial \theta}{\partial t}$$

Preferential macropore flow

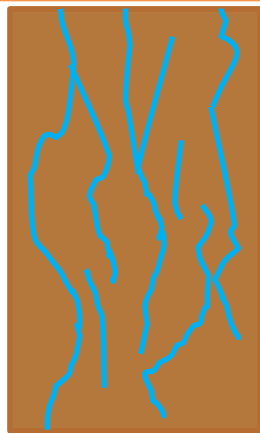
Kinematic Dispersive Wave model

Modelo de las Ondas Cinemáticas

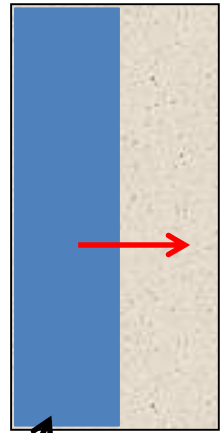
$$\frac{\partial f}{\partial t} = -c(\theta_{\text{mac}}) \frac{\partial f}{\partial z} + v_f \frac{\partial^2 f}{\partial z^2} - S$$

Ecuación de Darcy-Richards

$$\frac{\partial \theta}{\partial t} = \frac{\partial}{\partial z} \left(K(h) \frac{\partial H}{\partial z} \right) + S$$

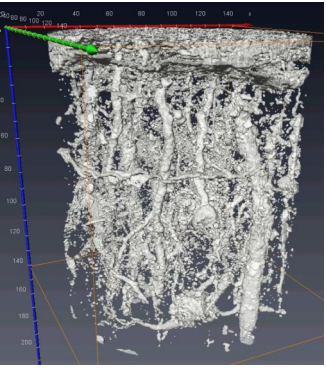


≈

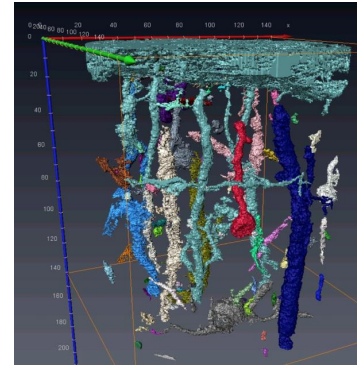


Matrix

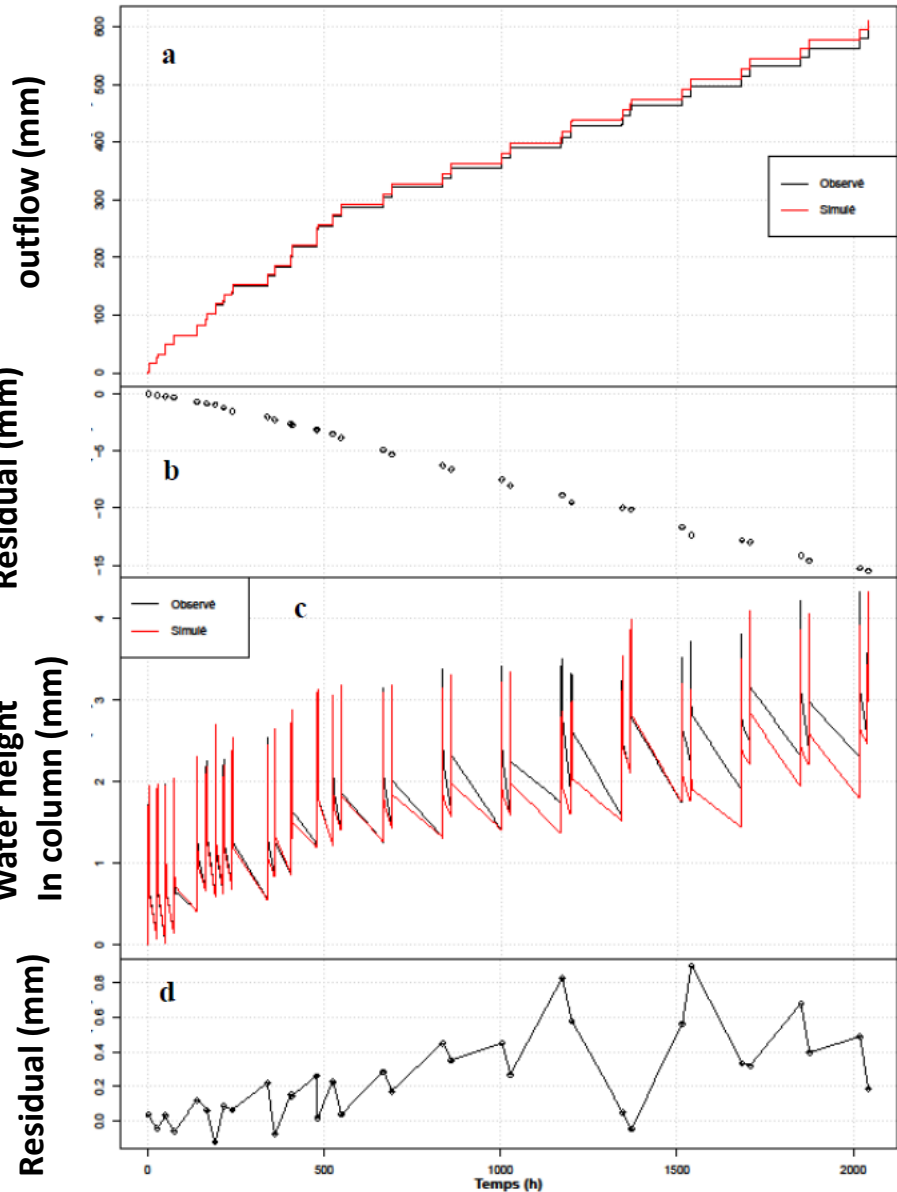
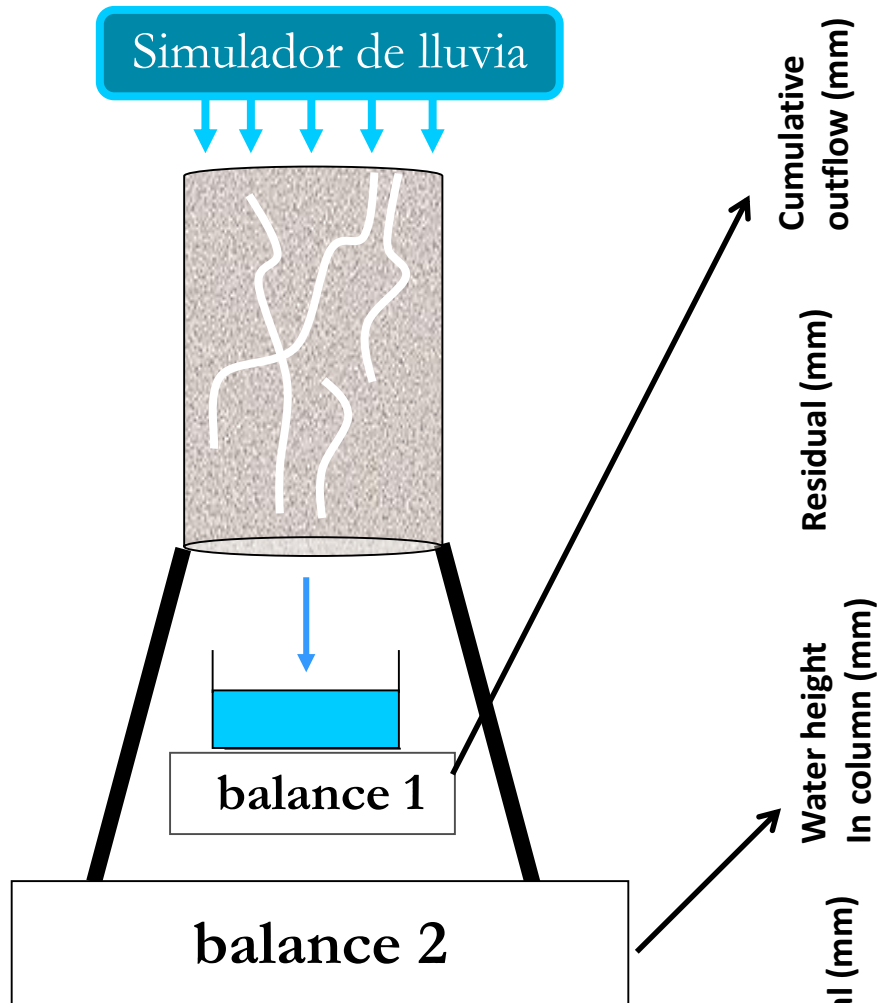
Equivalent macropore

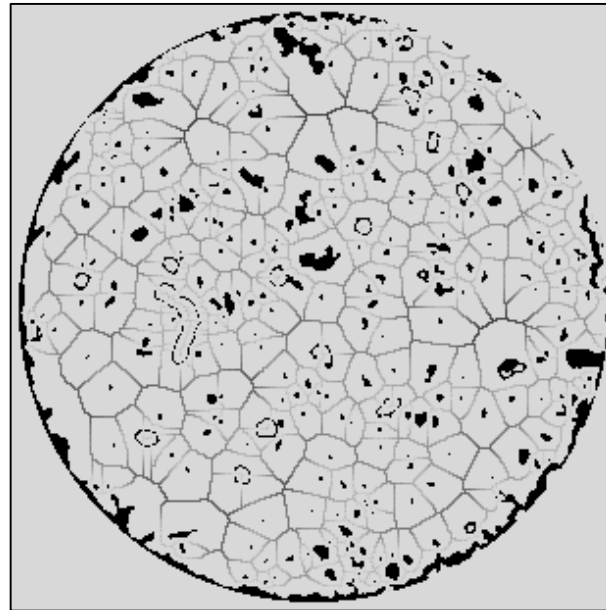
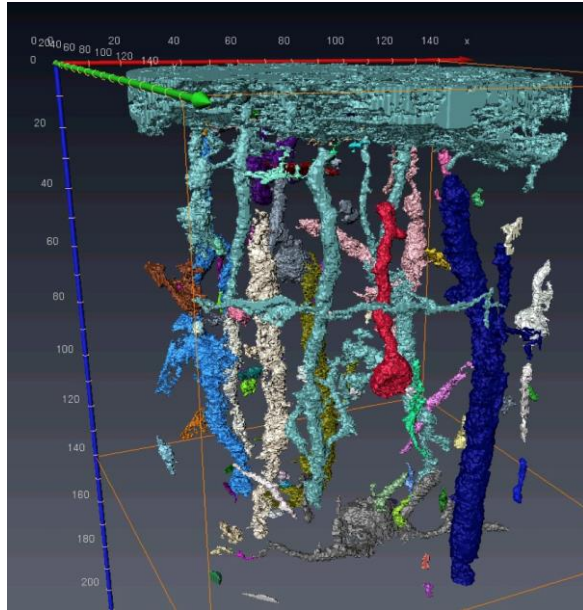


$$S = - \frac{K(h)}{d} \times \frac{0 - h}{d} \times \frac{\theta_{\text{mac}}}{\theta_{\text{mac_max}}}$$



Modèle des ondes cinématiques





Using the 3D images to determine a priori values of model parameters:

$$d = f(z)$$

$$\theta_{\text{mac_max}} = f(z)$$

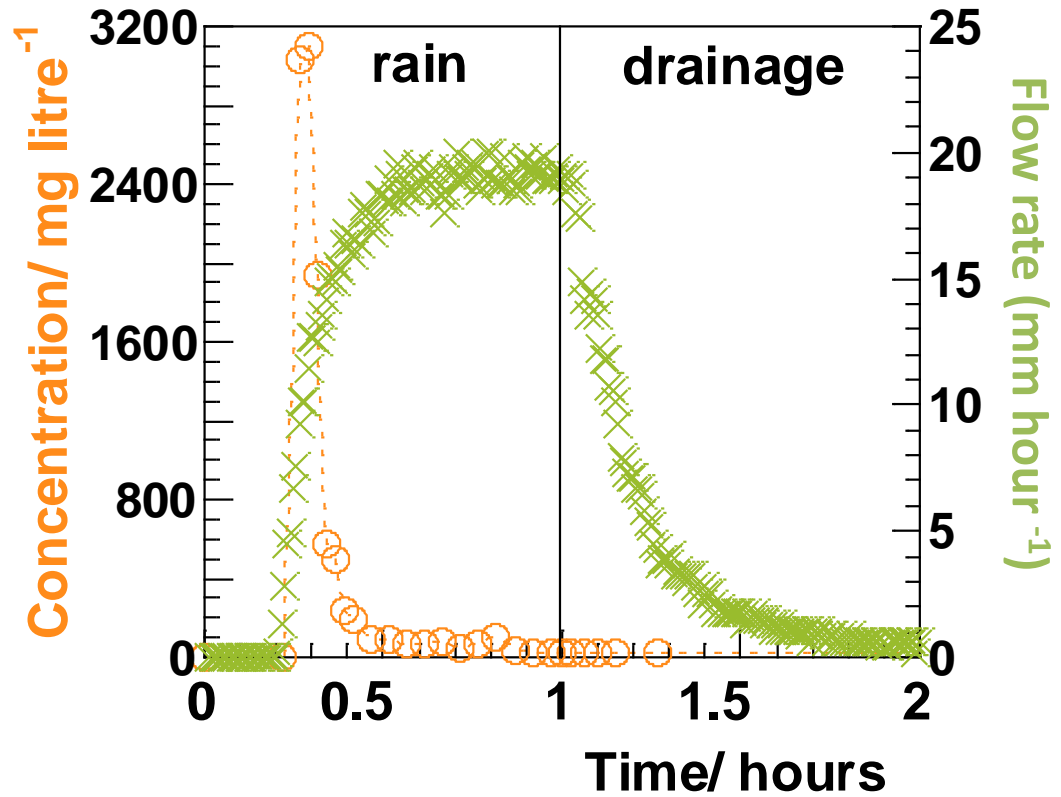
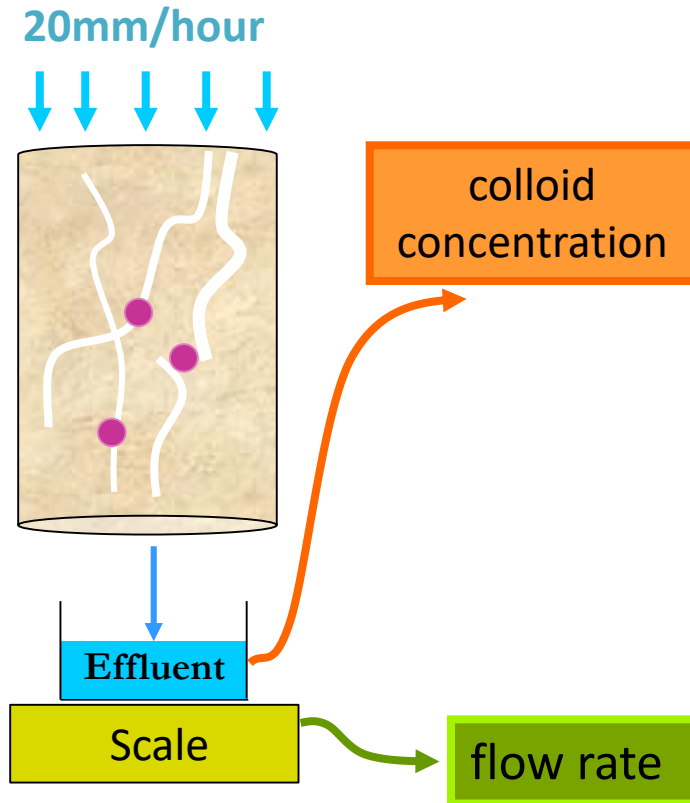
$$S = -\frac{K(h)}{d} \times \frac{0-h}{d} \times \frac{\theta_{\text{mac}}}{\theta_{\text{mac_max}}}$$

- n'améliore pas la reproduction des données expérimentales
- Diminue l'incertitude sur les valeurs des paramètres déterminés par modélisation inverse

natural soil colloid mobilization

experimental set up and questions

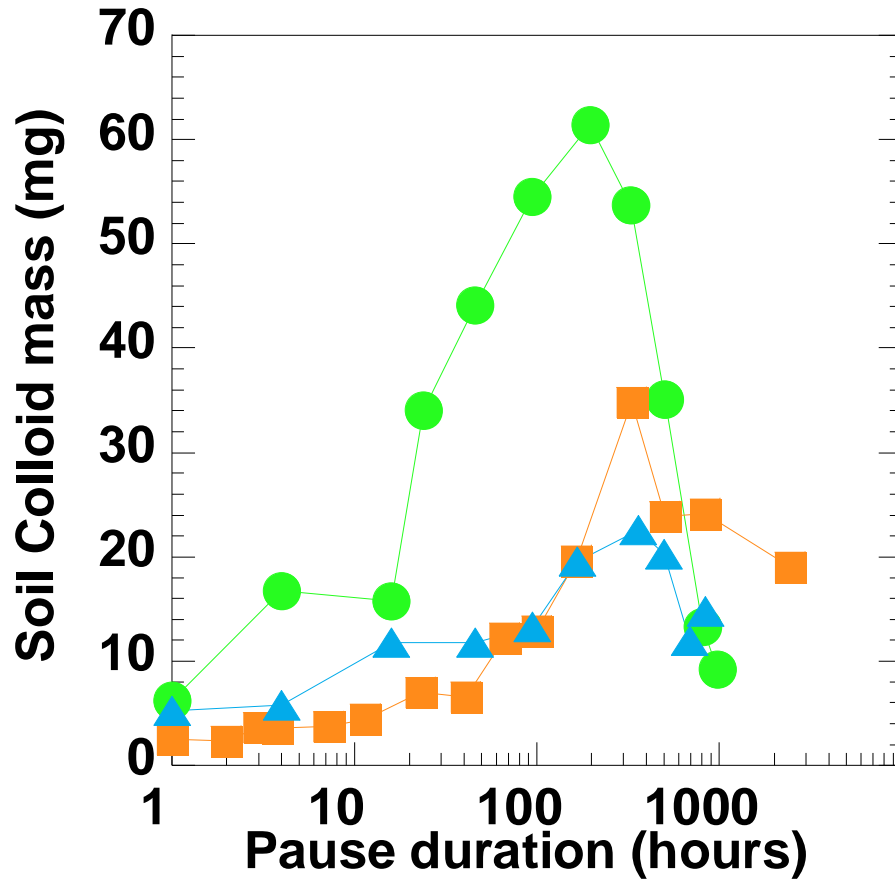
rainfall, one hour



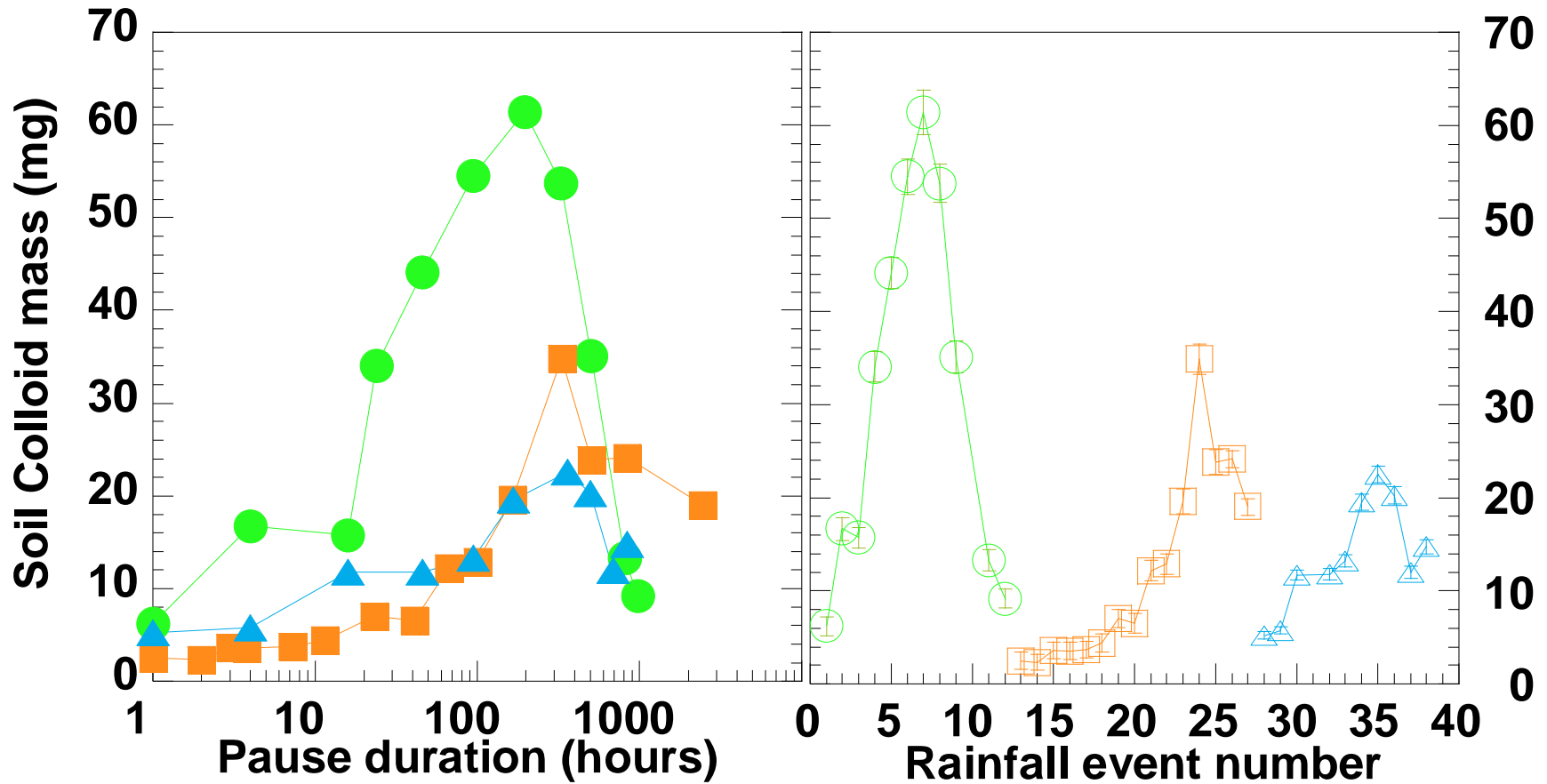
Peak during transient flow rate regime

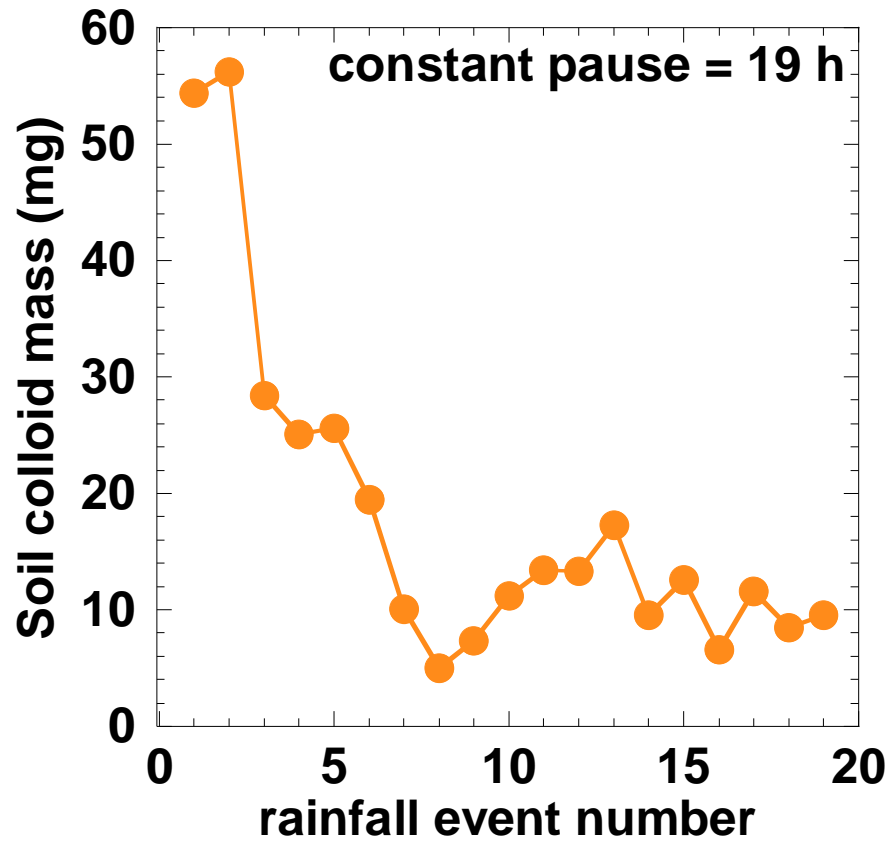
La durée d'une période sèche entre deux pluies influence t-elle la hauteur du pic ?

Majdalani et al. *Eur. J. Soil. Sci.* **2008**, 59, 147-155



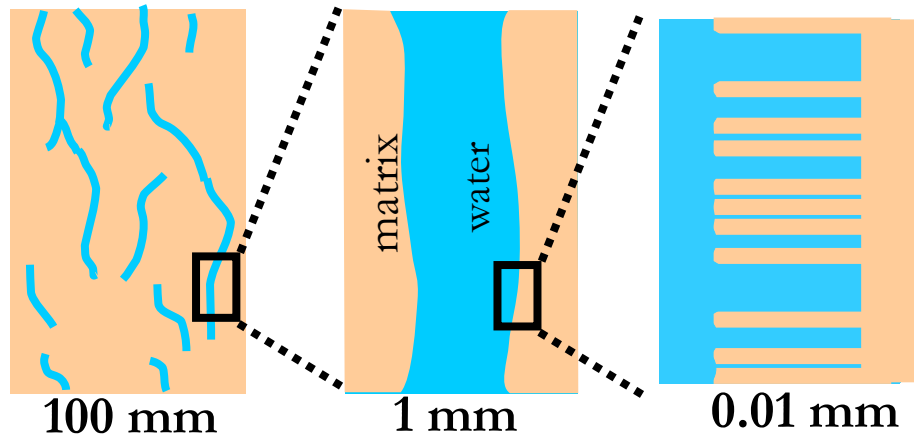
Majdalani et al. *Eur. J. Soil. Sci.* **2008**, 59, 147-155





Constant rain interruption duration does NOT reproduce the pattern

colloid mobilization conceptual model



capillary pressure

$r=100\text{nm}: 10^6 \text{ Pa}$

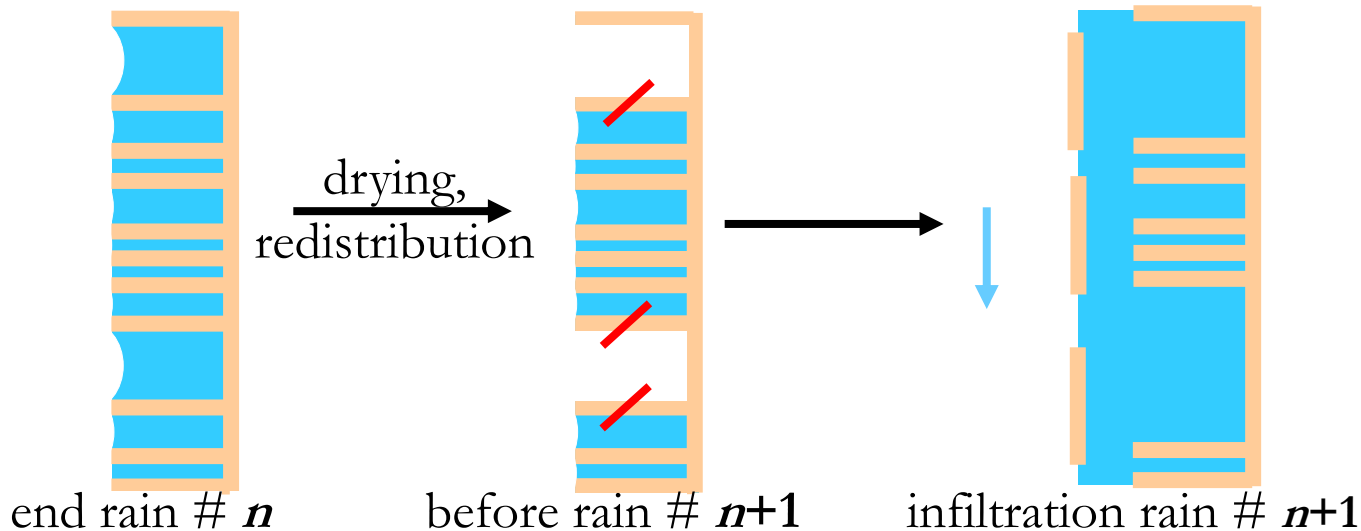
$r=10\mu\text{m} : 10^3 \text{ Pa}$

rheometry:

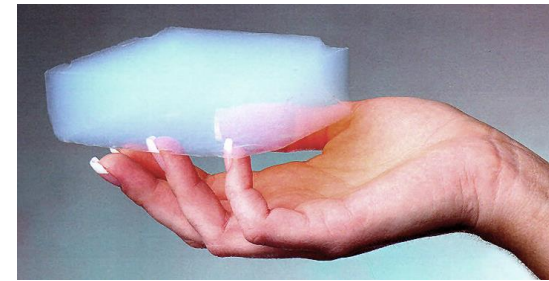
$10^2 \text{ Pa} < \text{yield stress} < 10^6 \text{ Pa}$

Ghezzehei et al , 2001

Hypothesis: **differential capillary stresses** weaken the walls separating an empty and a full pore.

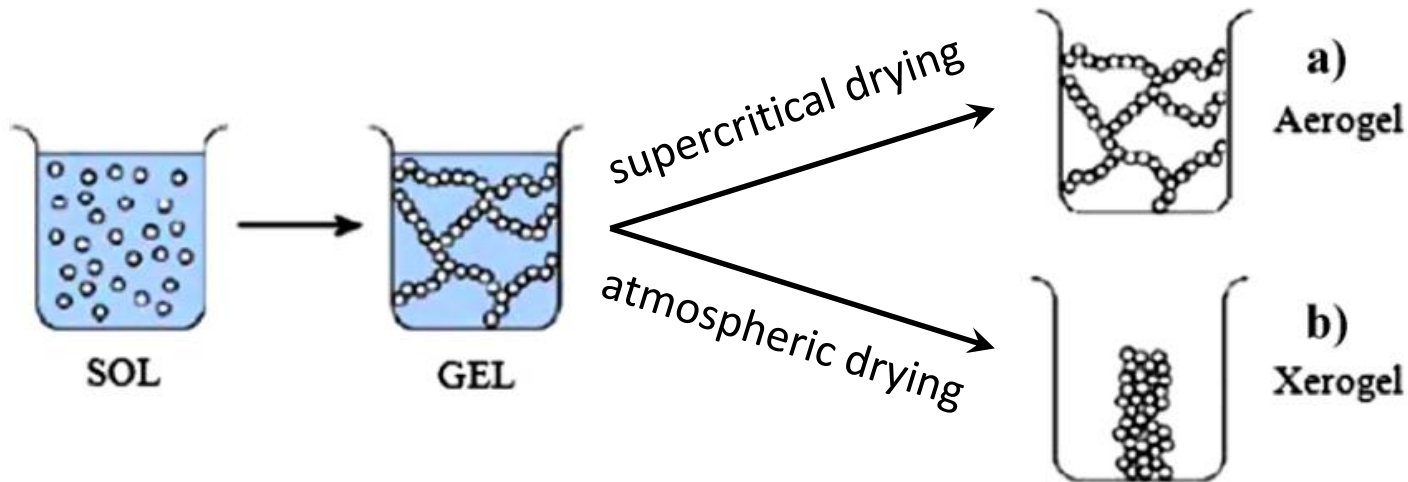


Zarzycki, et al. *Journal of Material Science*
Synthesis of glasses from gels: the problem of
monolithic gels. **1982**



Pa

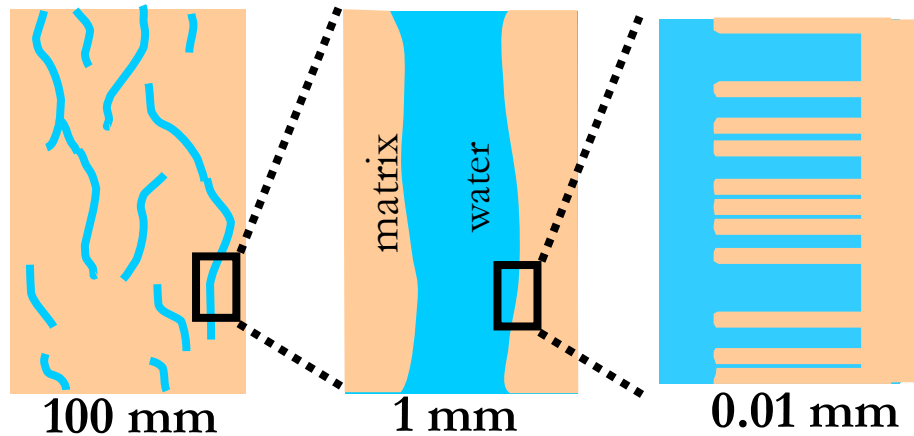
Hyp



Sketch adapted from García-González et al. 2011.

end rain

colloid mobilization conceptual model



capillary pressure

$r=100\text{nm}: 10^6 \text{ Pa}$

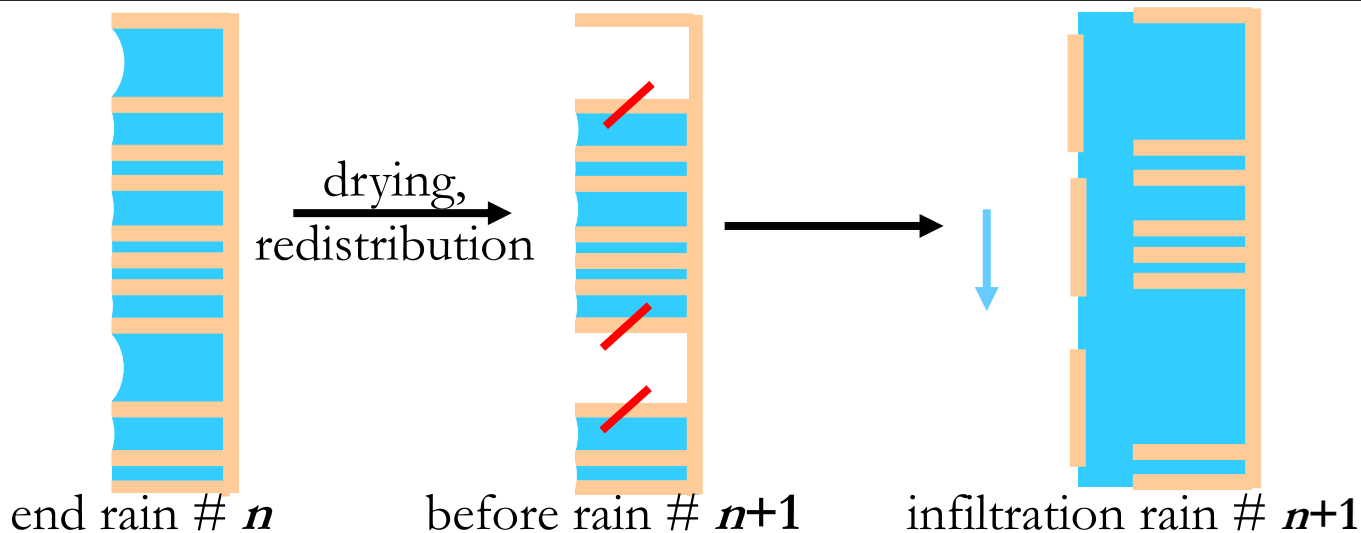
$r=10\mu\text{m} : 10^3 \text{ Pa}$

rheometry:

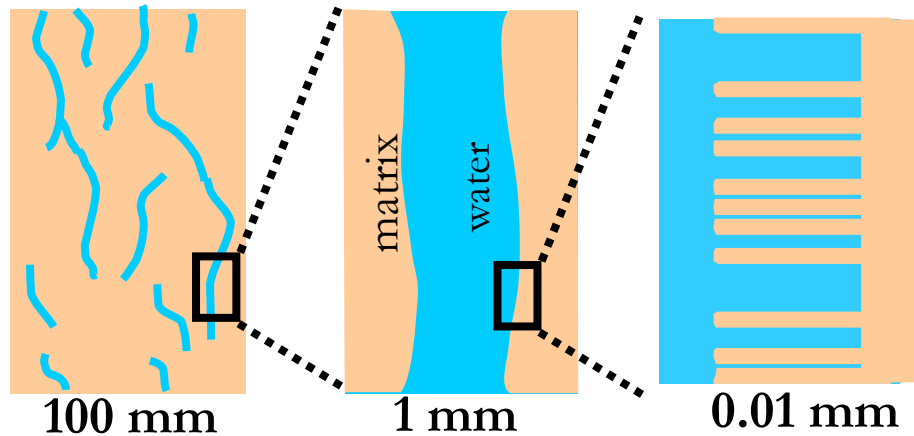
$10^2 \text{ Pa} < \text{yield stress} < 10^6 \text{ Pa}$

Ghezzehei et al , 2001

Hypothesis: **differential capillary stresses** weaken the walls separating an empty and a full pore.



colloid mobilization conceptual model



capillary pressure

$r=100\text{nm}: 10^6 \text{ Pa}$

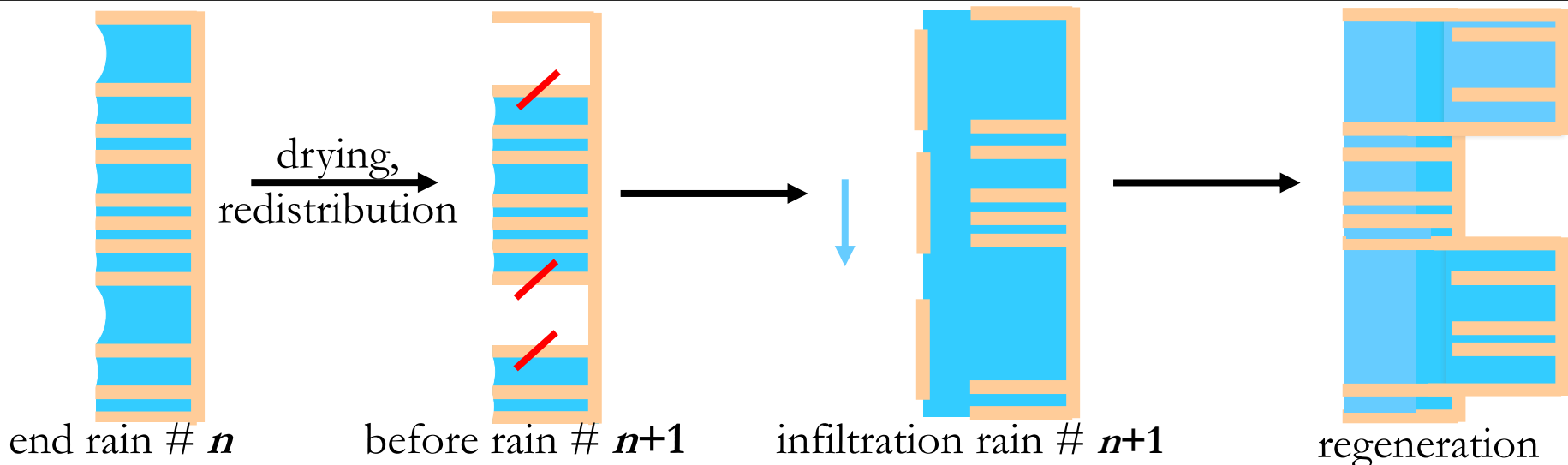
$r=10\mu\text{m} : 10^3 \text{ Pa}$

rheometry:

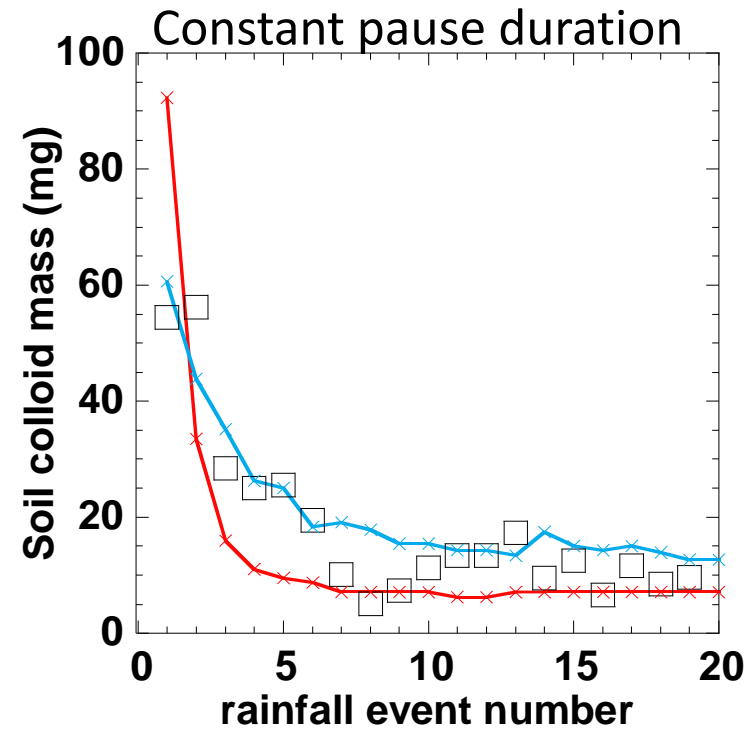
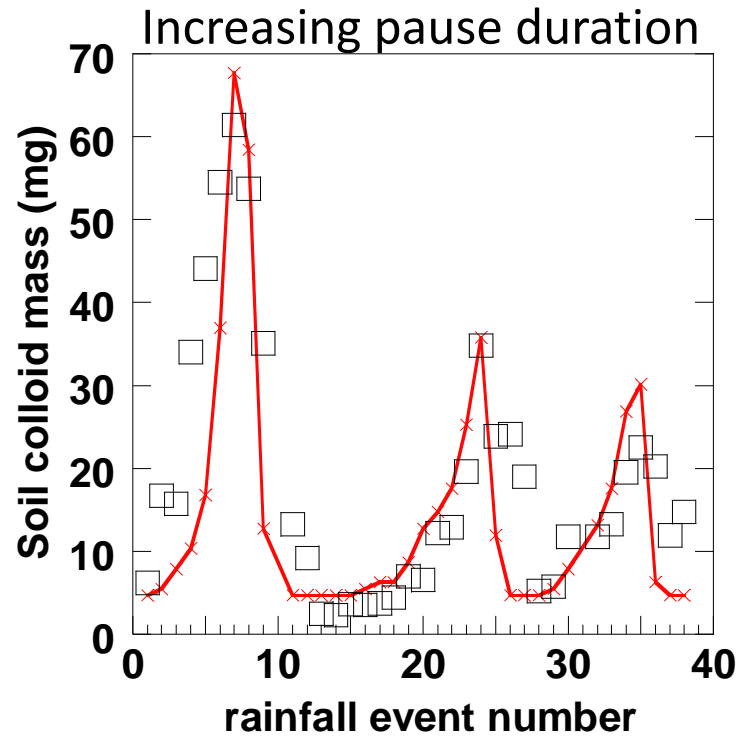
$10^2 \text{ Pa} < \text{yield stress} < 10^6 \text{ Pa}$

Ghezzehei et al , 2001

Hypothesis: **differential capillary stresses** weaken the walls separating an empty and a full pore.

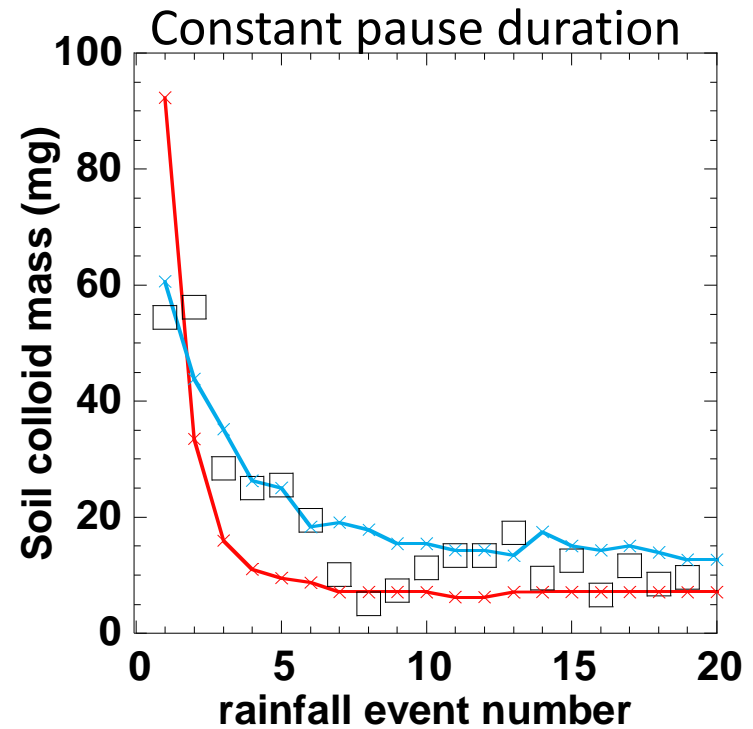
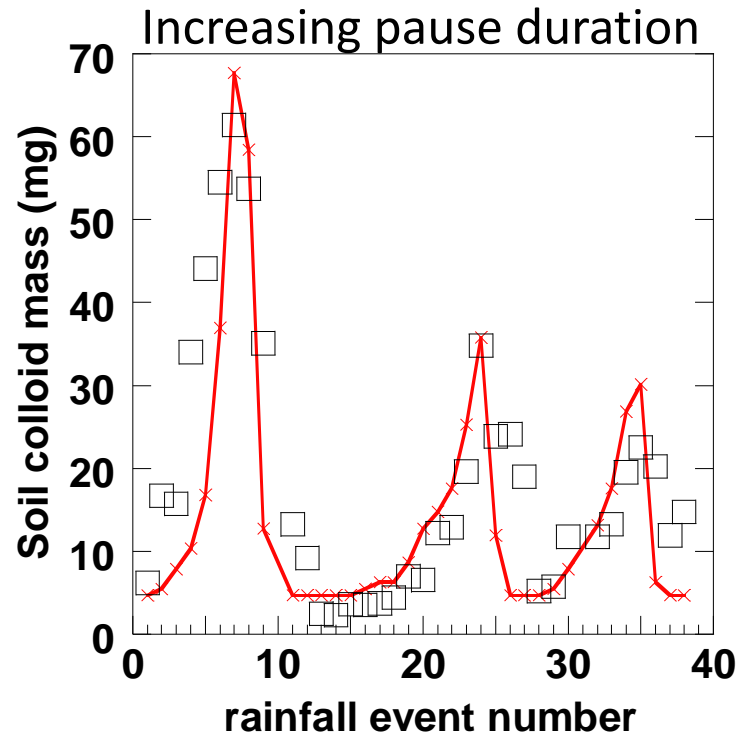


Michel et al. , *Eur. J. Soil Sci.*, **2014**, 65 (3), 336-347.



$e_0 = 1 \times 10^{-9} \text{ ms}^{-1}$,
 $\Delta h_{\text{max}} = 150 \text{ } \mu\text{m}$
 $r_{\text{regen}} = 400 \text{ } \mu\text{m}$
 $c = 0.40 \text{ mg wall}^{-1}$,

Michel et al. , *Eur. J. Soil Sci.*, 2014, 65 (3), 336-347.



**Strengthen the hypothesis of mobilization by differential capillary stresses.
Link between pore structure modifications & leaching.**

Provides a physically based regeneration mechanism

Eliminates the necessity to estimate the initial size of the pool of leachable colloids

State of Science

Sediment detachment and transport processes associated with internal erosion of soil pipes

Glenn V. Wilson,^{1*} Robert Wells,¹ Roger Kuhnle,¹ Garey Fox² and John Nieber³

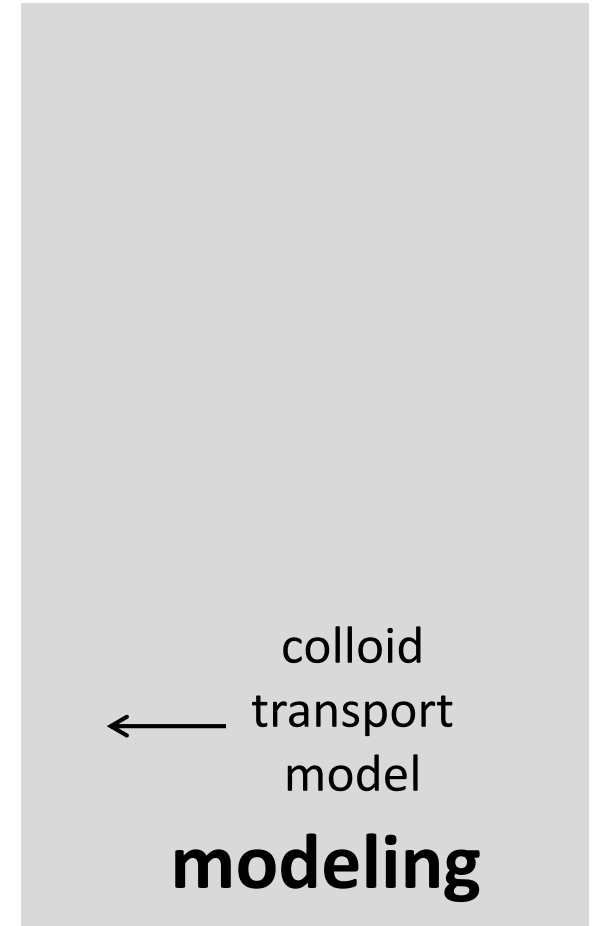
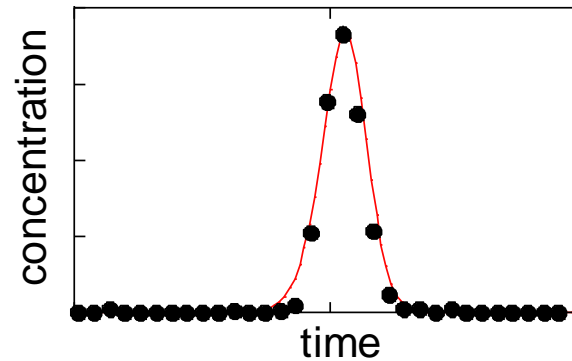
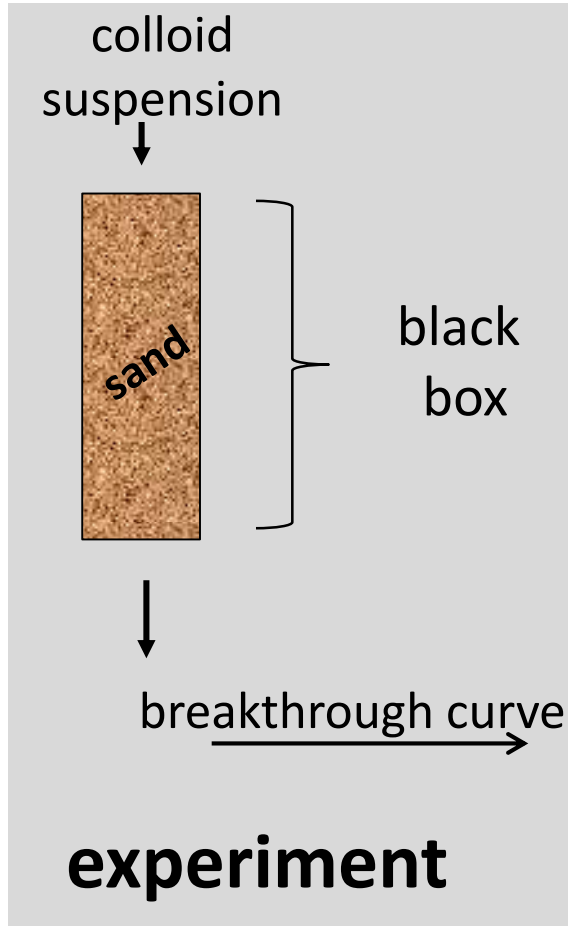


Figure 7. Sediment entering a soil pipe by interception of runoff by a pipe collapse feature in Goodwin Creek Experimental Watershed (GCEW).

Open the black box !

Transport of colloids monitored by MRI

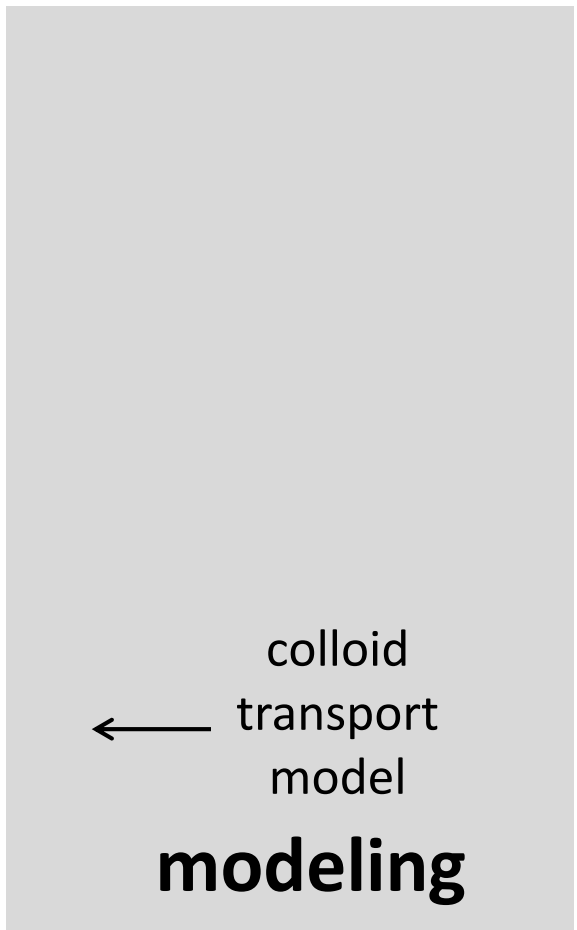
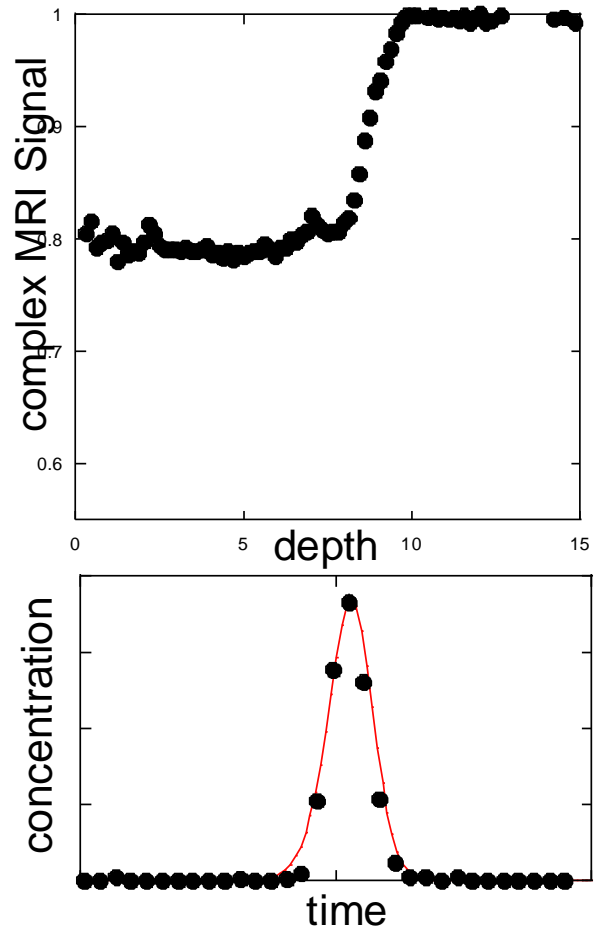
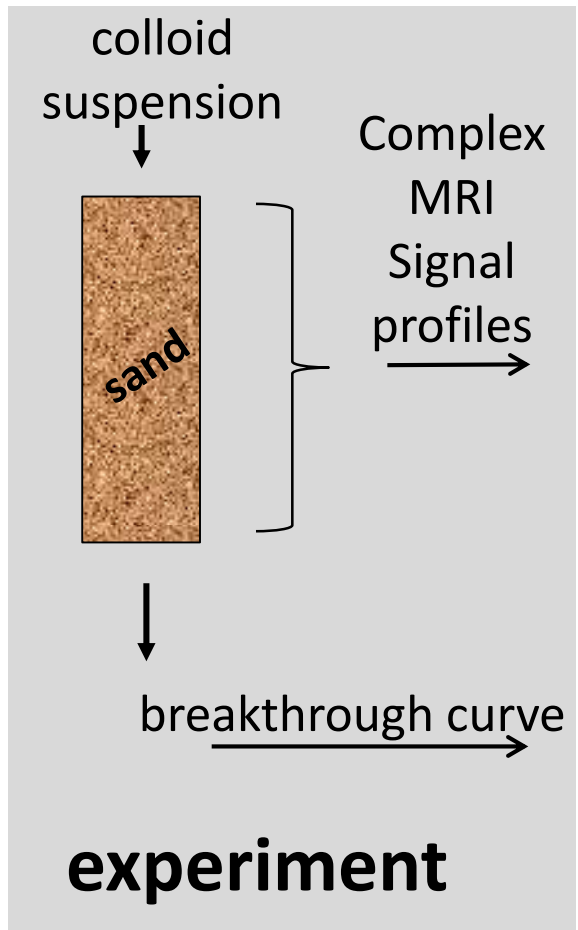
Lehoux et al. *Water Research*, 2017,123, 12-20



Open the black box !

Transport of colloids monitored by MRI

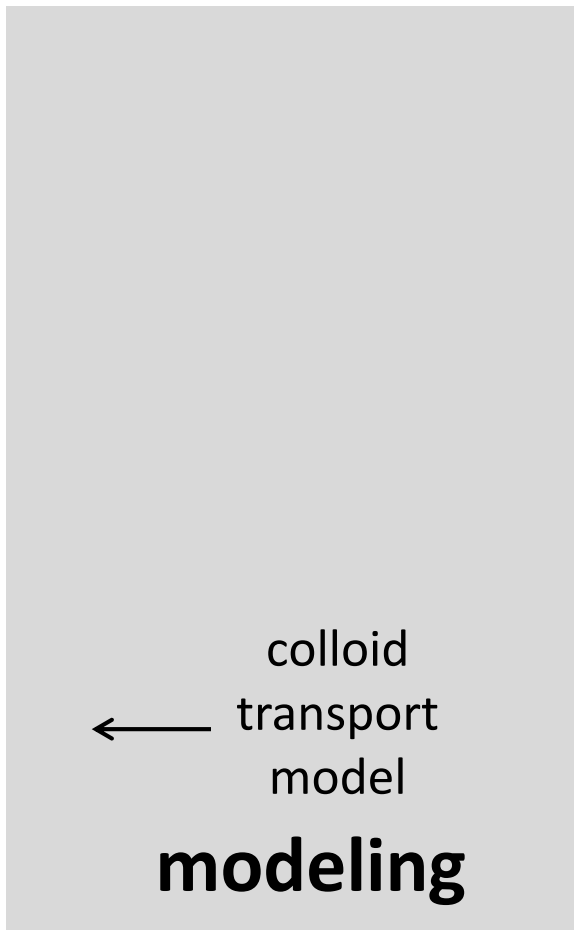
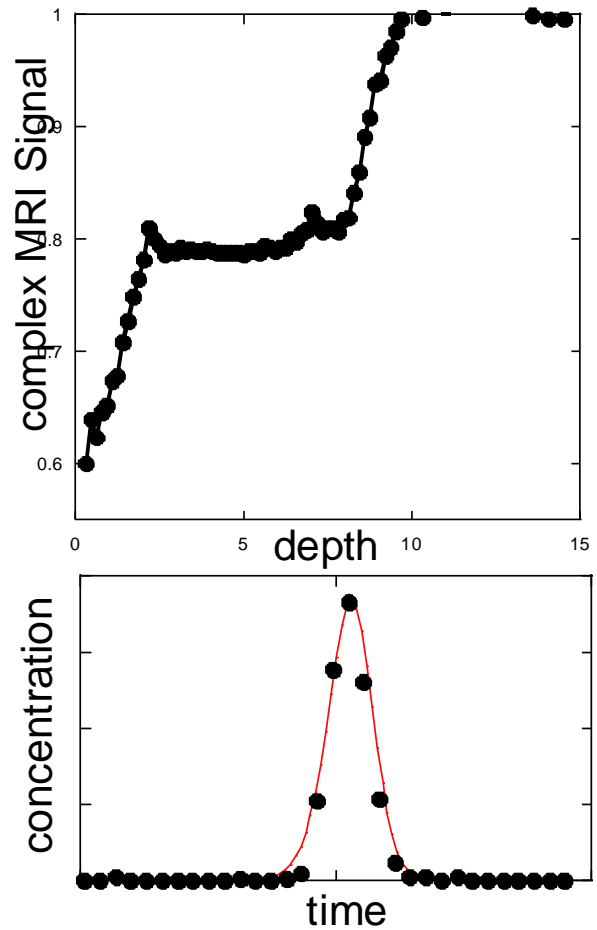
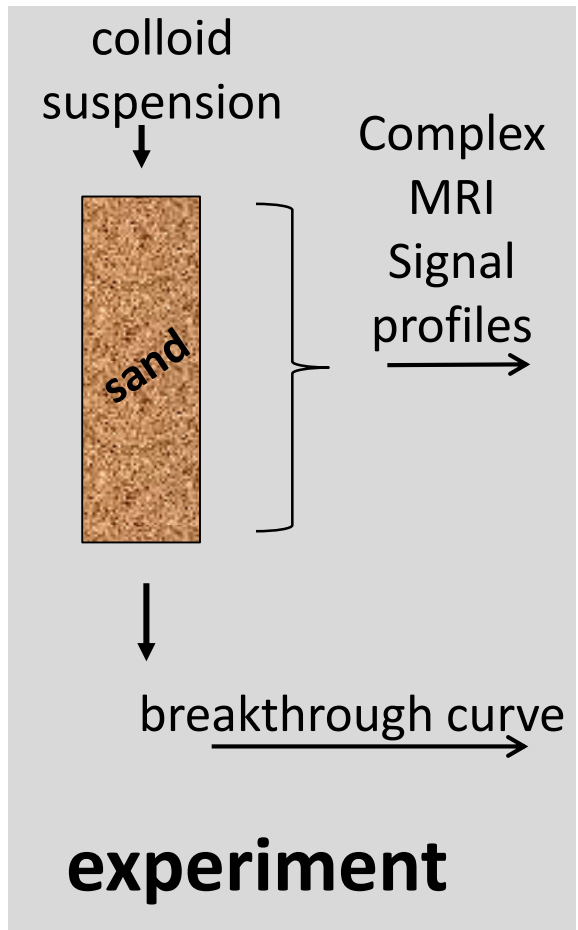
Lehoux et al. *Water Research*, 2017,123, 12-20



Open the black box !

Transport of colloids monitored by MRI

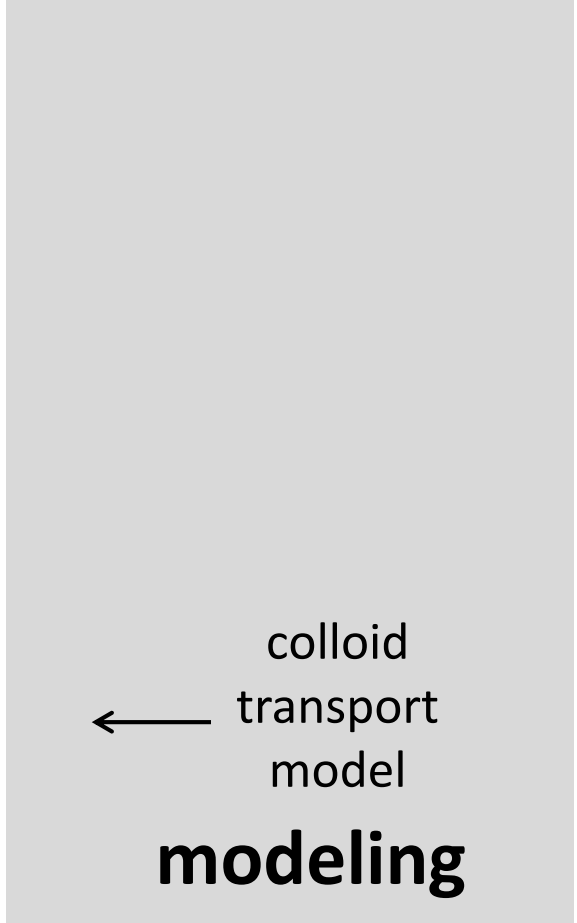
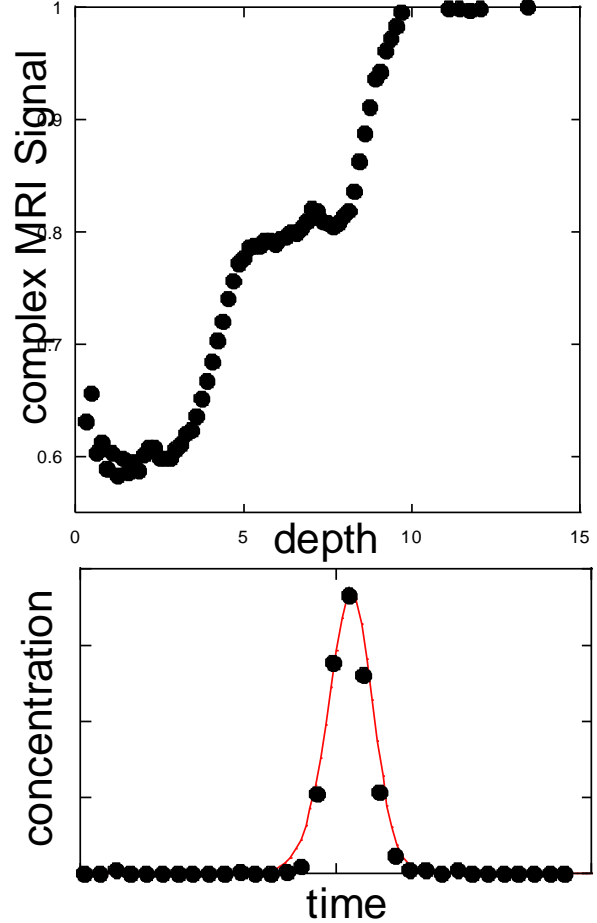
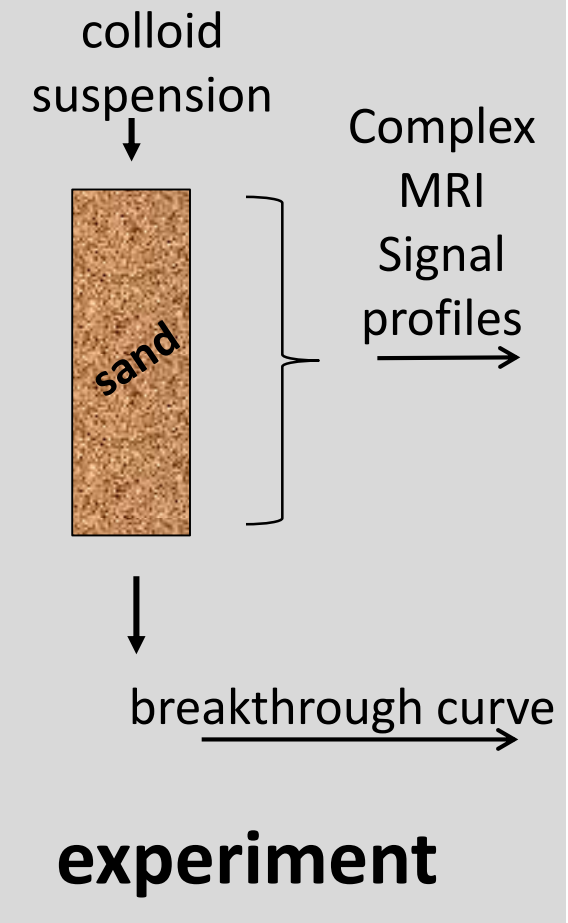
Lehoux et al. *Water Research*, 2017,123, 12-20



Open the black box !

Transport of colloids monitored by MRI

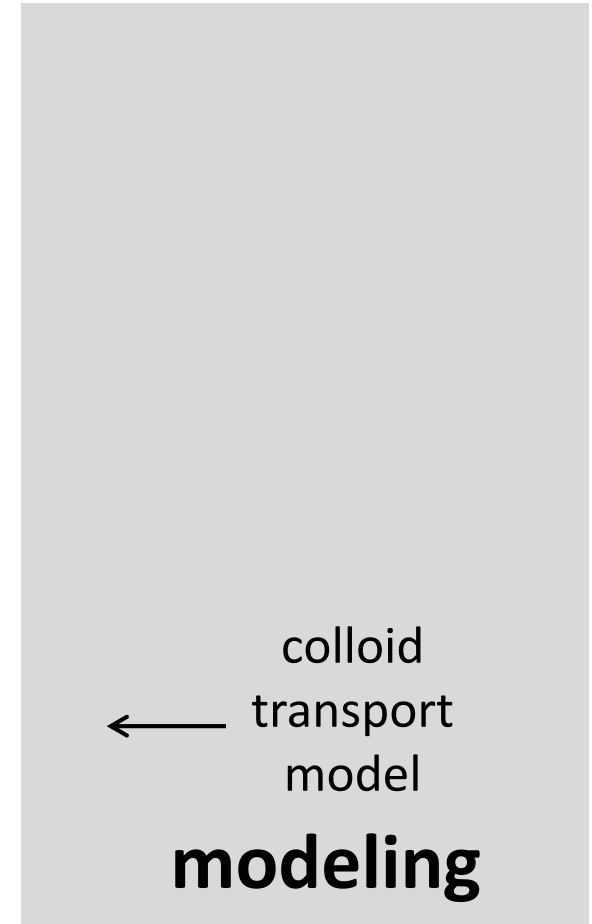
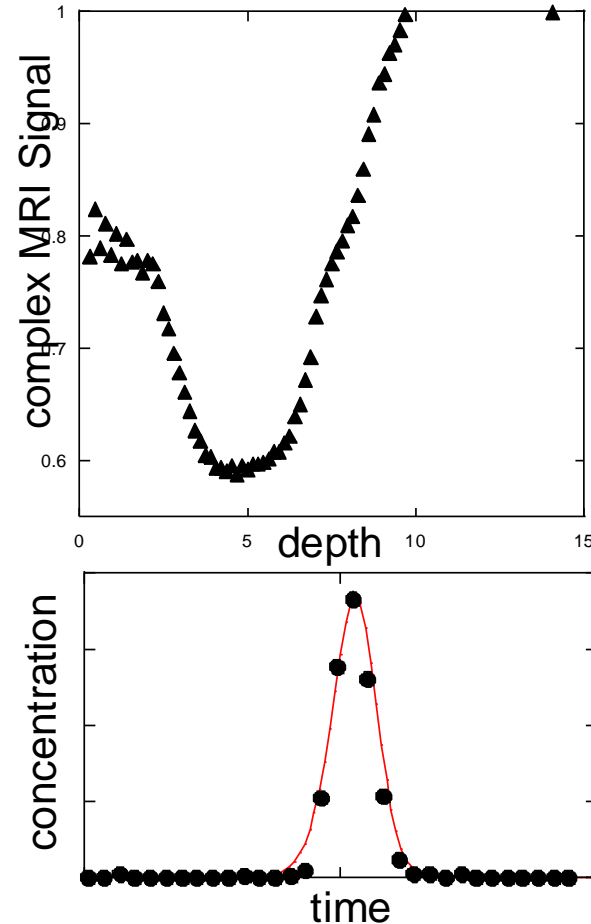
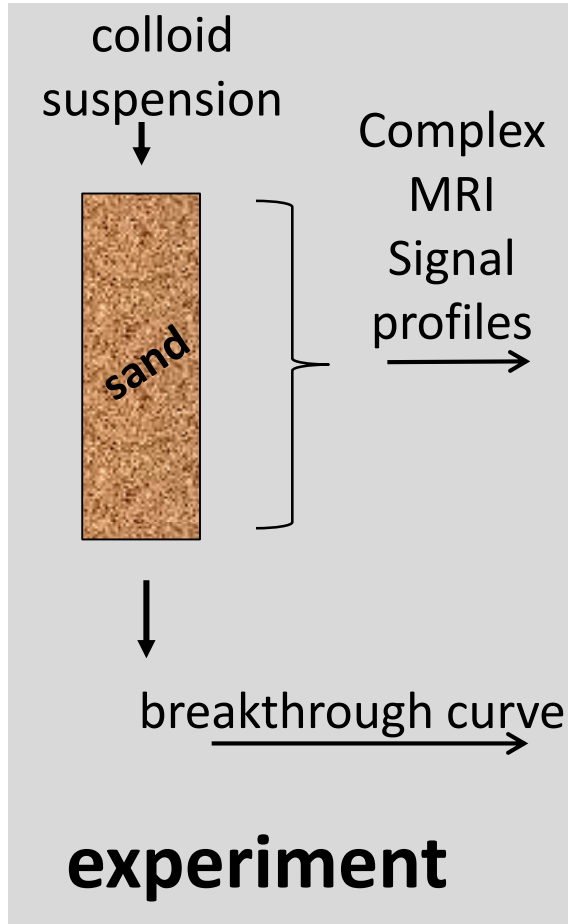
Lehoux et al. *Water Research*, 2017,123, 12-20



Open the black box !

Transport of colloids monitored by MRI

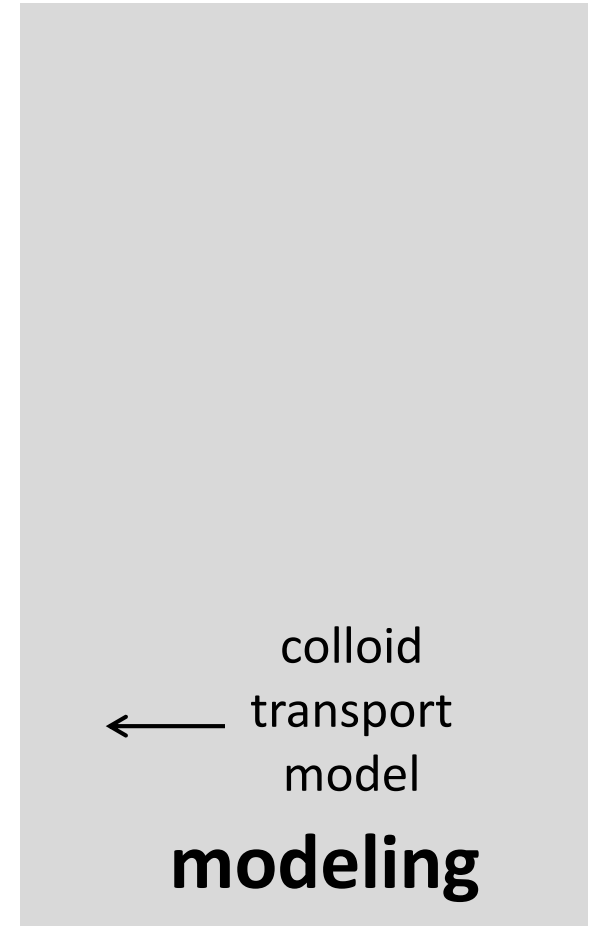
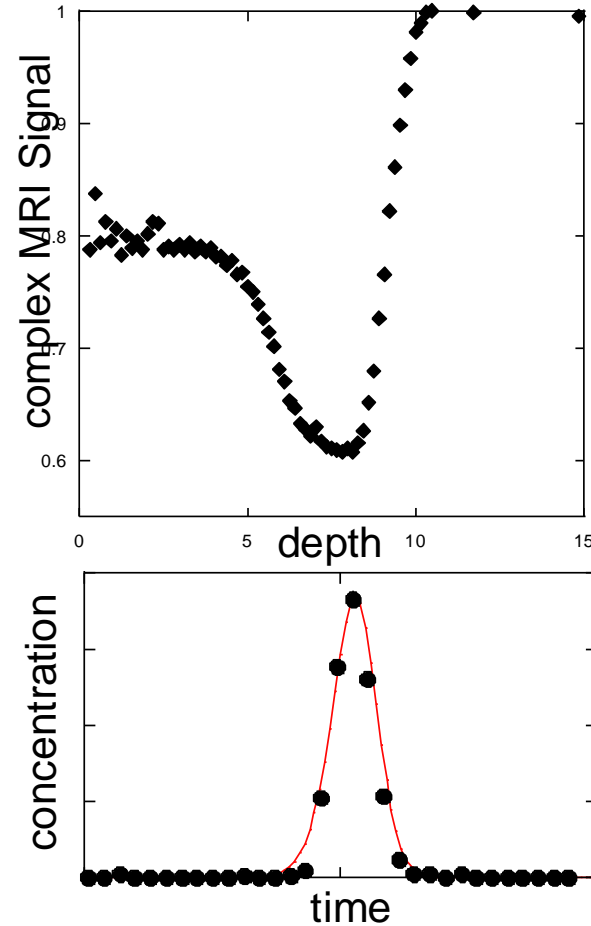
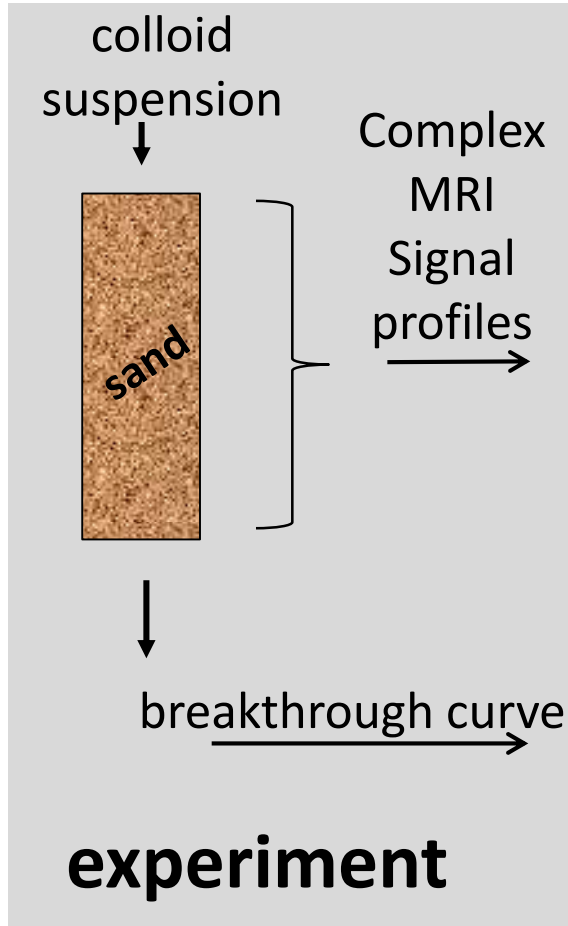
Lehoux et al. *Water Research*, 2017,123, 12-20



Open the black box !

Transport of colloids monitored by MRI

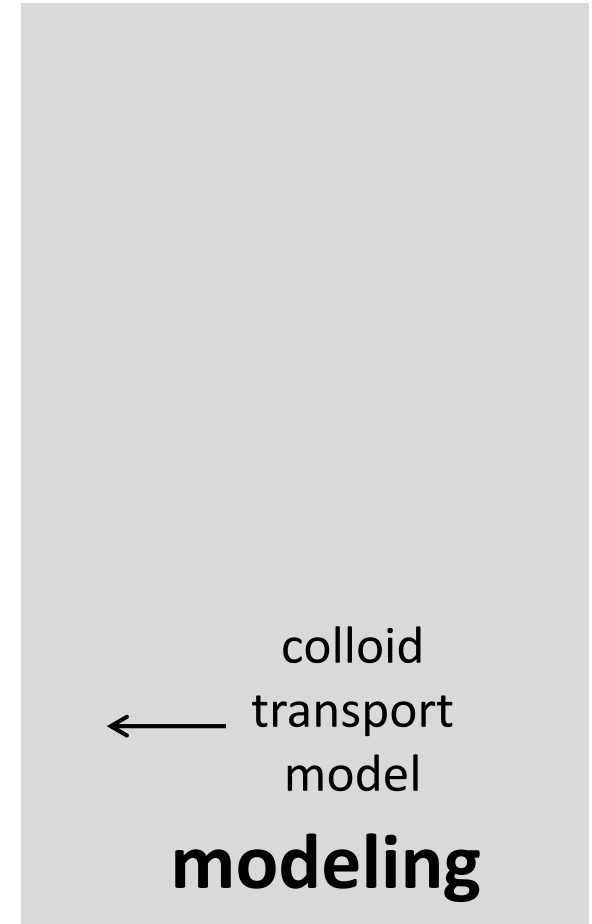
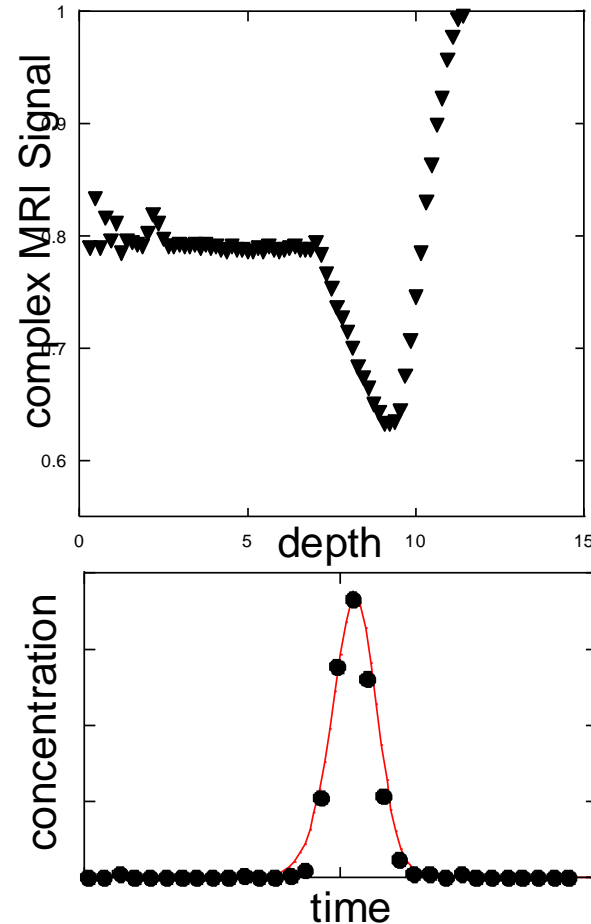
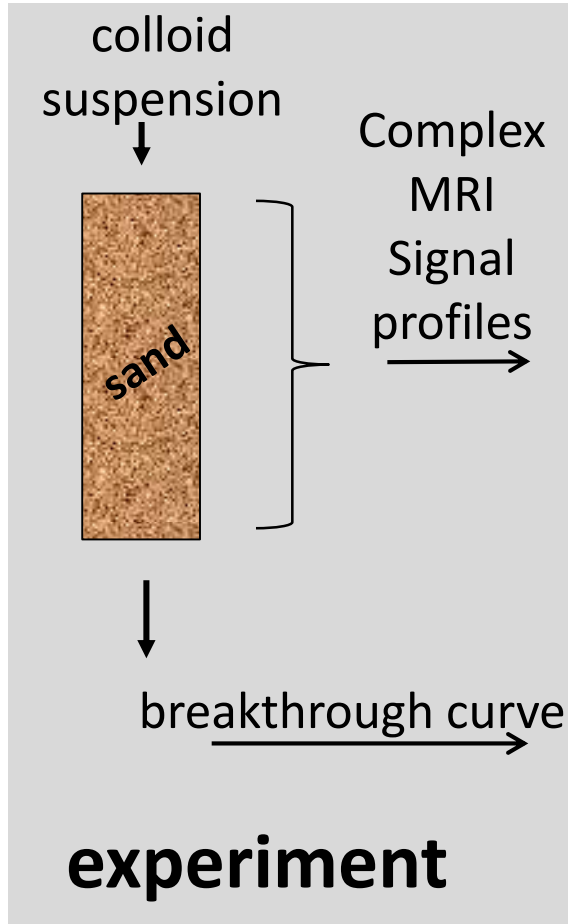
Lehoux et al. *Water Research*, 2017,123, 12-20



Open the black box !

Transport of colloids monitored by MRI

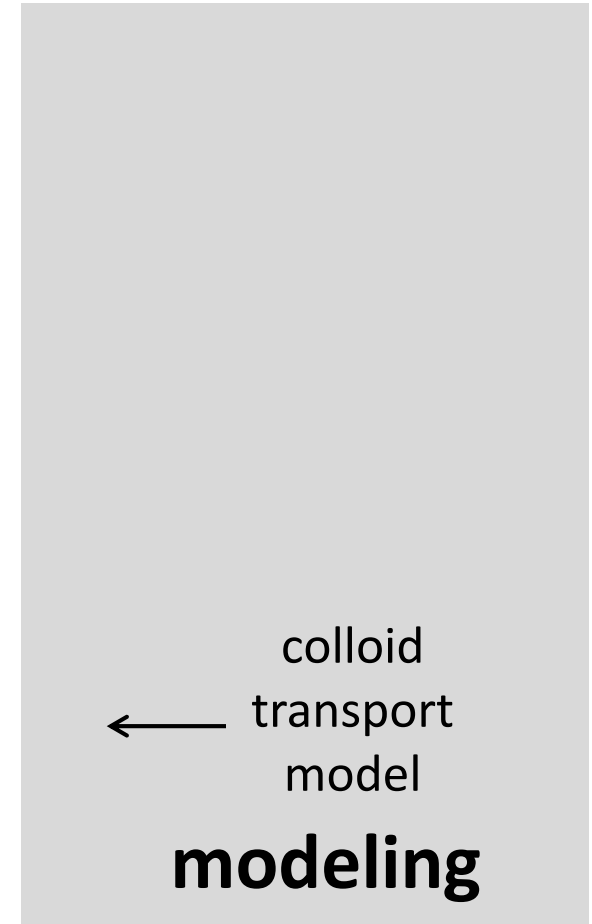
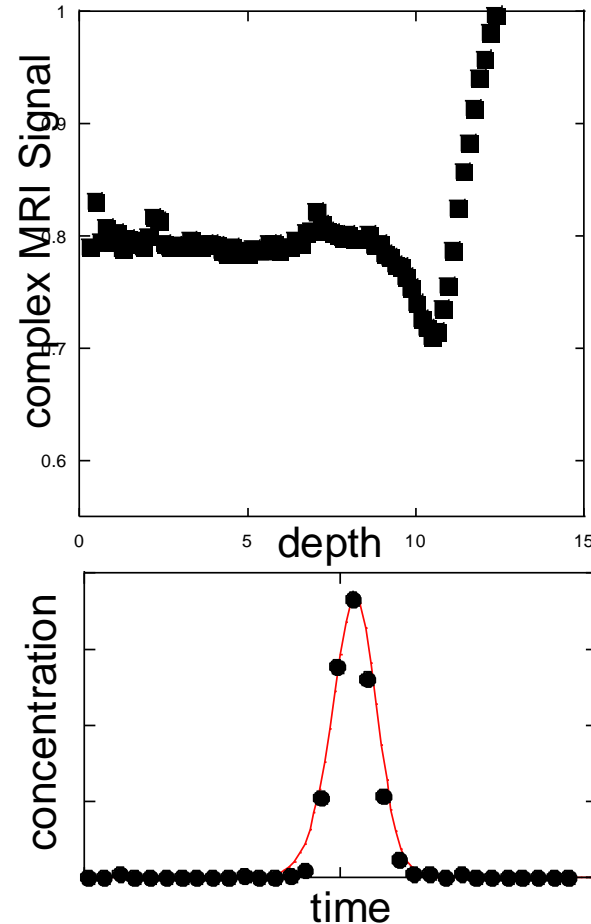
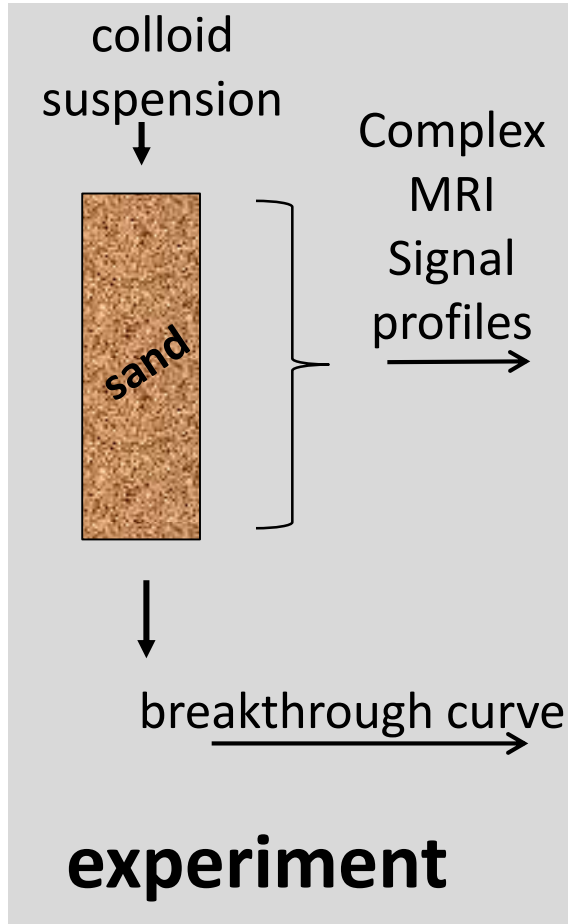
Lehoux et al. *Water Research*, 2017,123, 12-20



Open the black box !

Transport of colloids monitored by MRI

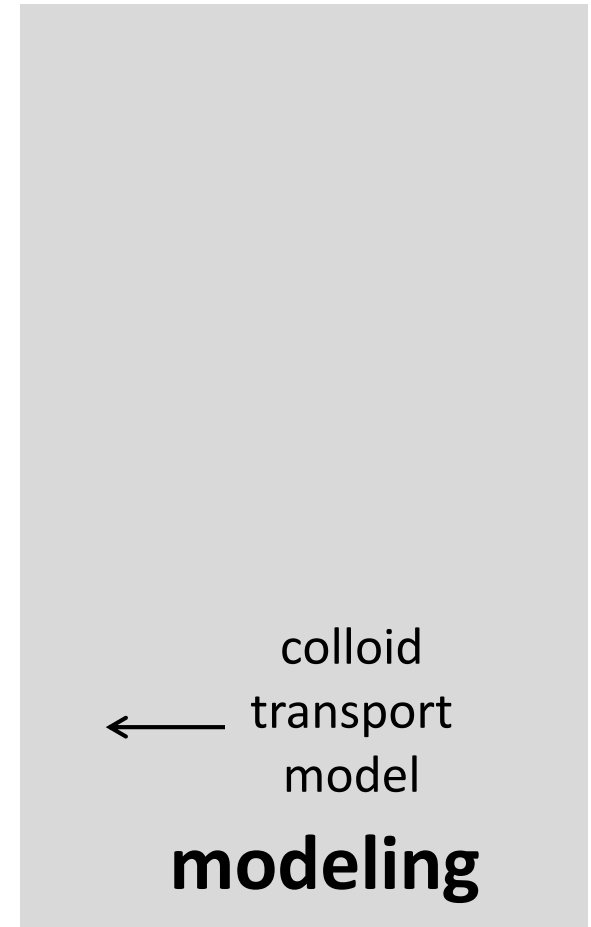
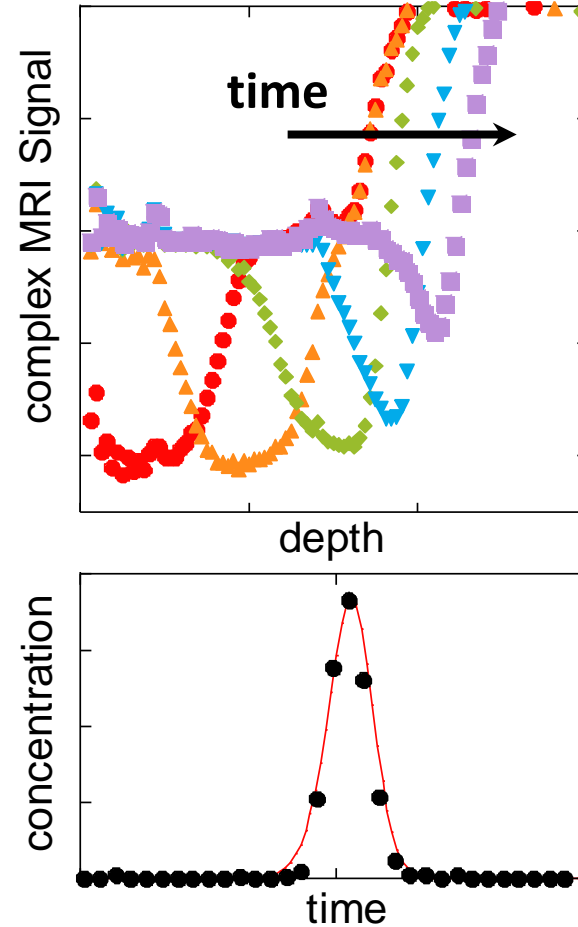
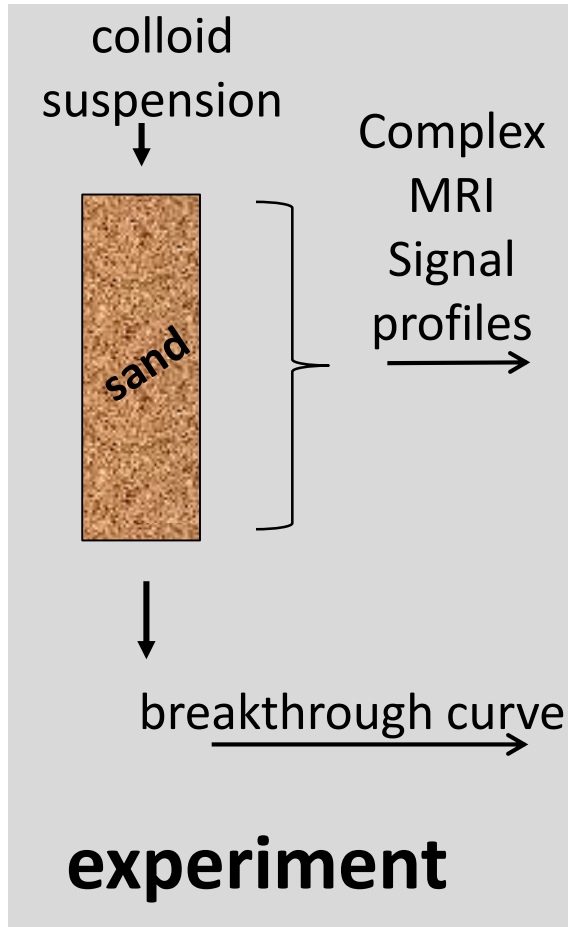
Lehoux et al. *Water Research*, 2017,123, 12-20



Open the black box !

Transport of colloids monitored by MRI

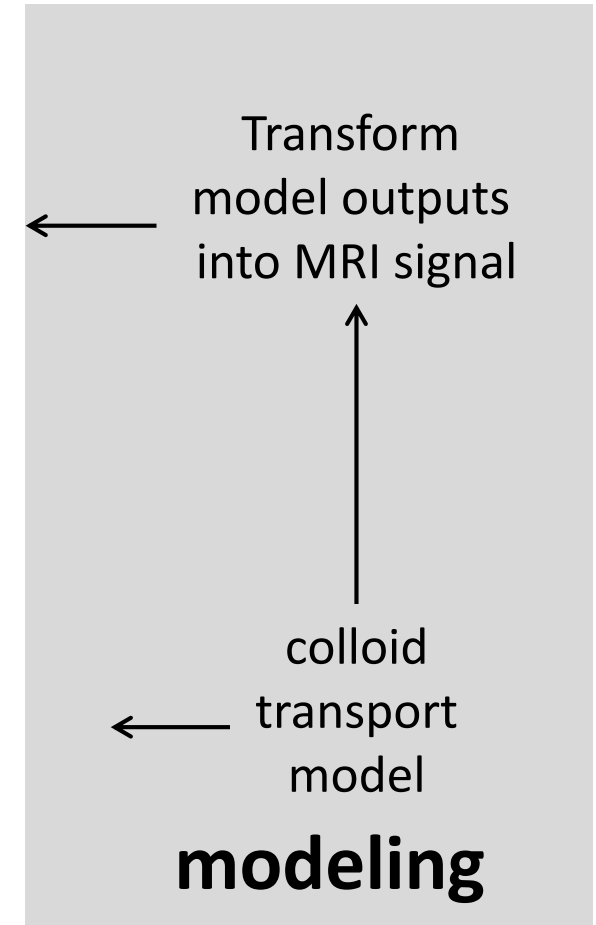
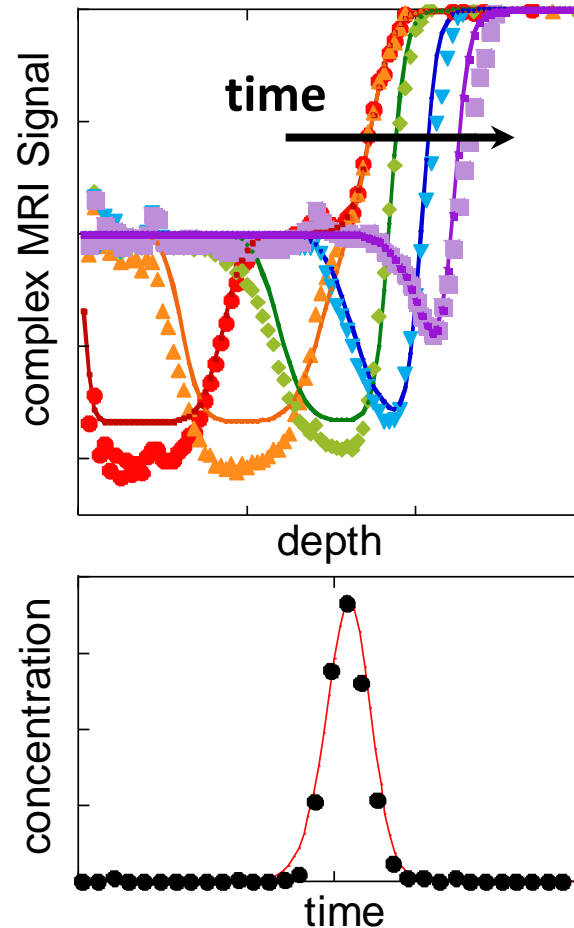
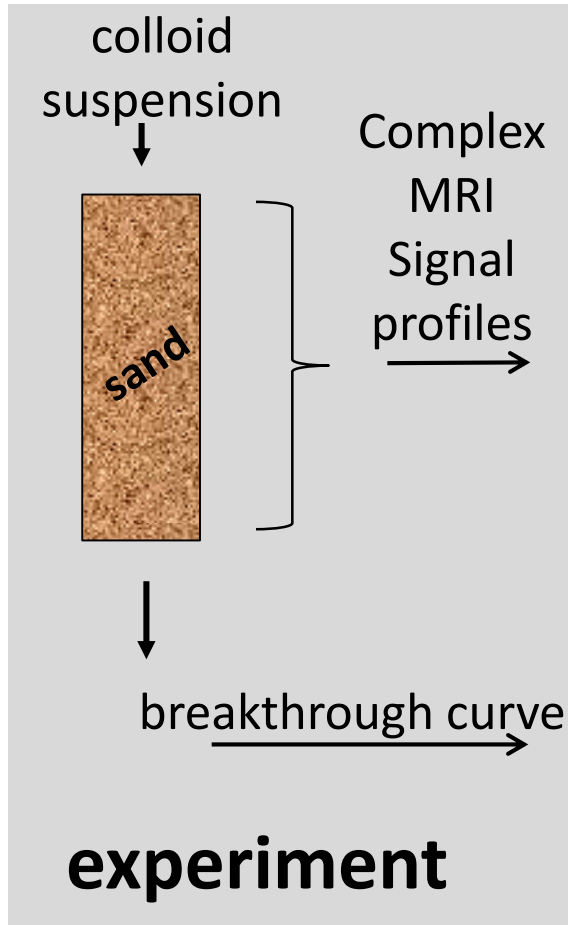
Lehoux et al. *Water Research*, 2017,123, 12-20



Open the black box !

Transport of colloids monitored by MRI

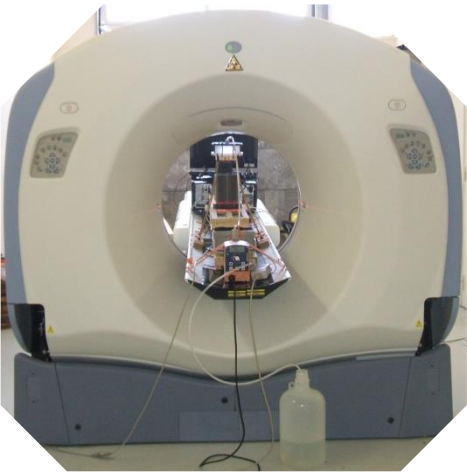
Lehoux et al. *Water Research*, 2017,123, 12-20



Model permits a quantitative use of the MRI profiles

Abundant time-lapse MRI profiles permit to test the models to their very limits !

Outline

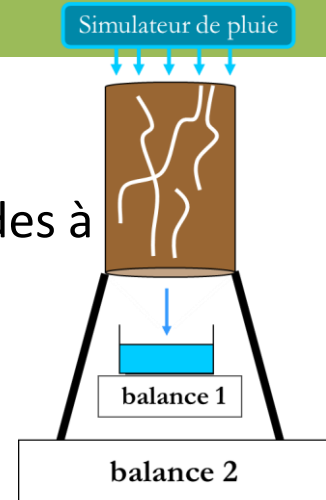


Imagerie fonctionnelle:

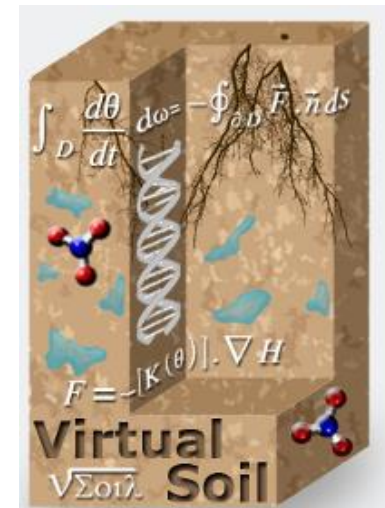
obtenir des **informations** qualitative et **quantitatives** à l'intérieur du sol **au cours de processus dynamiques**

Expériences

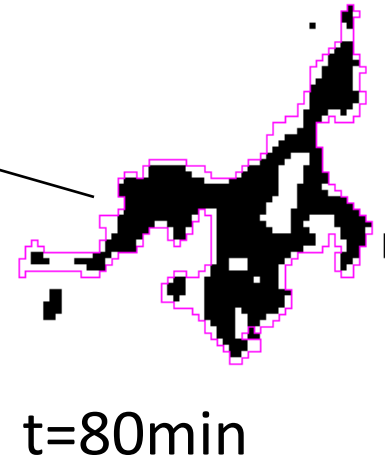
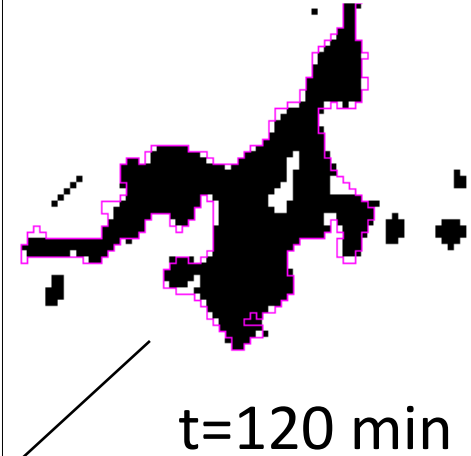
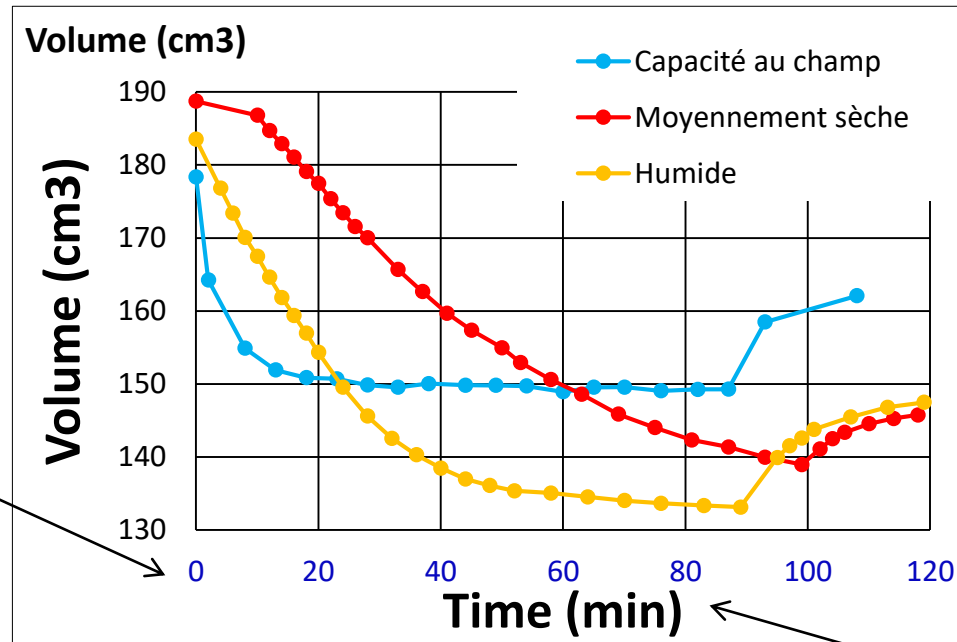
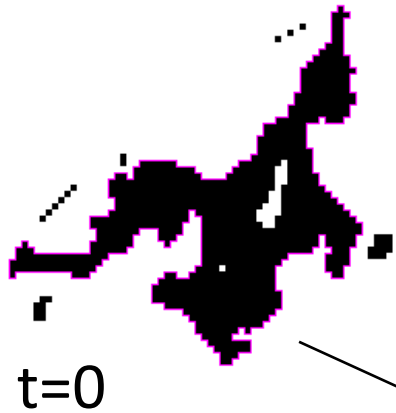
transport d'eau de solutés de colloïdes à l'échelle de la colonne de sol non perturbée



- Mécanismes
- Conception et utilisation de modèles couplés



Does water flow impact macropore structure ?



Gonflement des parois des macropores
au passage de l'eau ?

Substances perfluorées : PFAS

Les substances perfluoro-alkyles, $C_nF_{2n+1}-X$

1- ... sont utilisées dans un nombre important de processus y produits ...



2-...et sont

persistentes

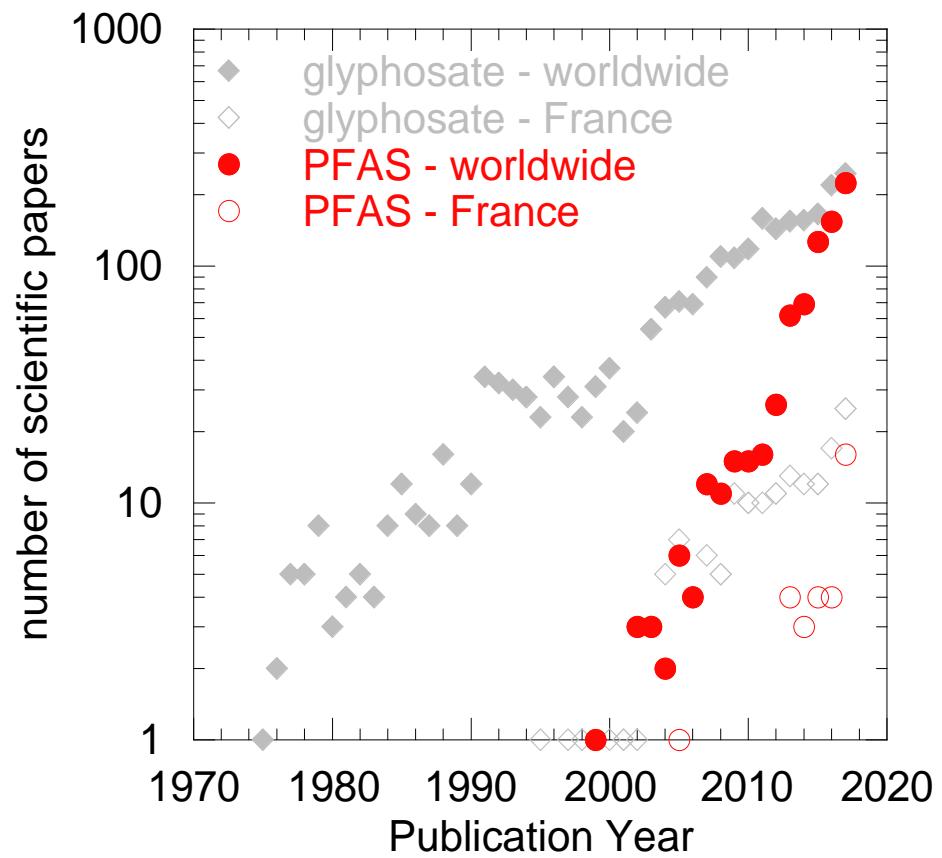
bioaccumulables

toxiques....

3- ... elles sont présentes dans tous les compartiments environnementaux



Substances perfluorées : PFAS

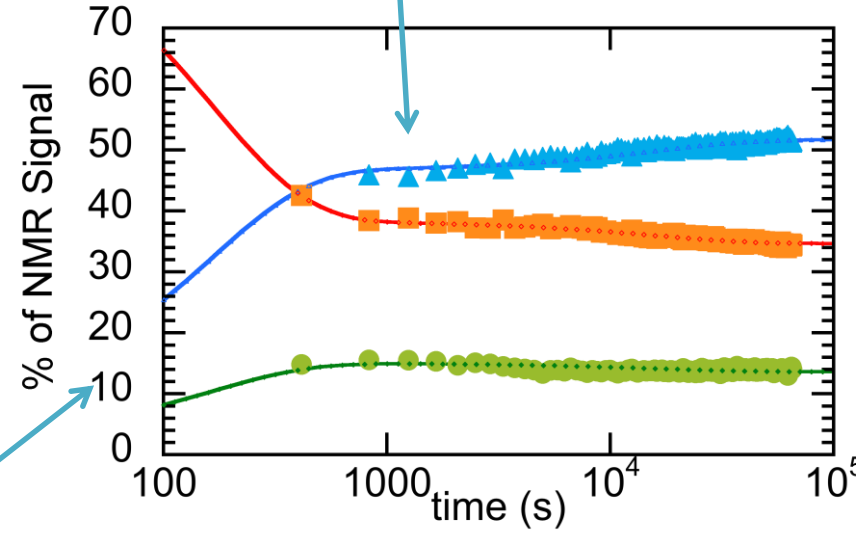
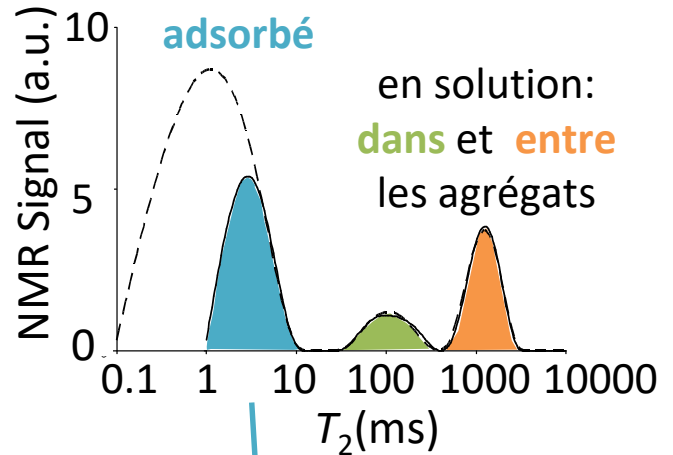
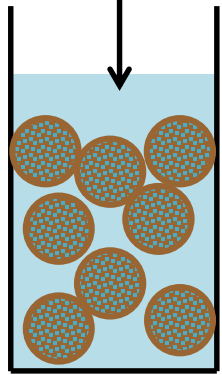
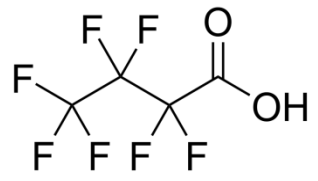


nombre d'entrées dans le WebOfScience pour la recherche (PFAS ou "perfluoroalkyl substance*"; rouge), ou glyphosate (gris) dans les catégories environmental sciences ou engineering environmental ou toxicology ou public environmental occupational health ou water resources ou agriculture multidisciplinary

Nécessité de prévoir l'internalisation par les plantes des PFAS, leur devenir dans le sol, les interaction PFAS-sol

Interaction sol – PFAS non comprise complètement

familles des PFAS



Modèle:

- (1) diffusion dans les agrégats
- (2) Adsorption cinétique sur deux sites différents

Interaction hydrophobes et électrostatiques

Interaction Sol – Eau - Contaminant

Déposition de colloïdes lors de cycles mouillage/séchage

van den Bogaert et al. *Geoderma*. 2016, 275, 40-47.

